

# Компьютерное зрение

Лекция 1.  
Базовая теория. Свертки изображений.  
Детекция границ.

28.05.2020  
Руслан Рахимов

Что такое компьютерное  
зрение?

# Что такое компьютерное зрение?



# Что такое компьютерное зрение?

0	1	2	3	7	4	5	2	3	0	1	2	3	7	4	5	2	3
1	0	3	2	6	5	4	3	2	1	0	3	2	6	5	4	3	2
2	3	0	1	9	6	7	4	5	2	3	0	1	9	6	7	4	5
3	2	1	0	8	7	6	5	4	3	2	1	0	8	7	6	5	4
7	6	9	8	0	3	2	5	4	7	6	9	8	0	3	2	5	4
4	5	6	7	3	0	1	2	3	4	5	6	7	3	0	1	2	3
5	4	7	6	2	1	0	3	2	5	4	7	6	2	1	0	3	2
2	3	4	5	5	2	3	0	1	2	3	4	5	5	2	3	0	1
3	2	5	4	4	3	2	1	0	3	2	5	4	4	3	2	1	0
0	1	2	3	7	4	5	2	3	0	1	2	3	7	4	5	2	3
1	0	3	2	6	5	4	3	2	1	0	3	2	6	5	4	3	2
2	3	0	1	9	6	7	4	5	2	3	0	1	9	6	7	4	5
3	2	1	0	8	7	6	5	4	3	2	1	0	8	7	6	5	4
7	6	9	8	0	3	2	5	4	7	6	9	8	0	3	2	5	4
4	5	6	7	3	0	1	2	3	4	5	6	7	3	0	1	2	3
5	4	7	6	2	1	0	3	2	5	4	7	6	2	1	0	3	2
2	3	4	5	5	2	3	0	1	2	3	4	5	5	2	3	0	1
3	2	5	4	4	3	2	1	0	3	2	5	4	4	3	2	1	0

Задача компьютерного  
зрения дать компьютерам  
восприятие на уровне  
человека (или лучше)

# Примеры задач CV

# Классификация изображений



mite

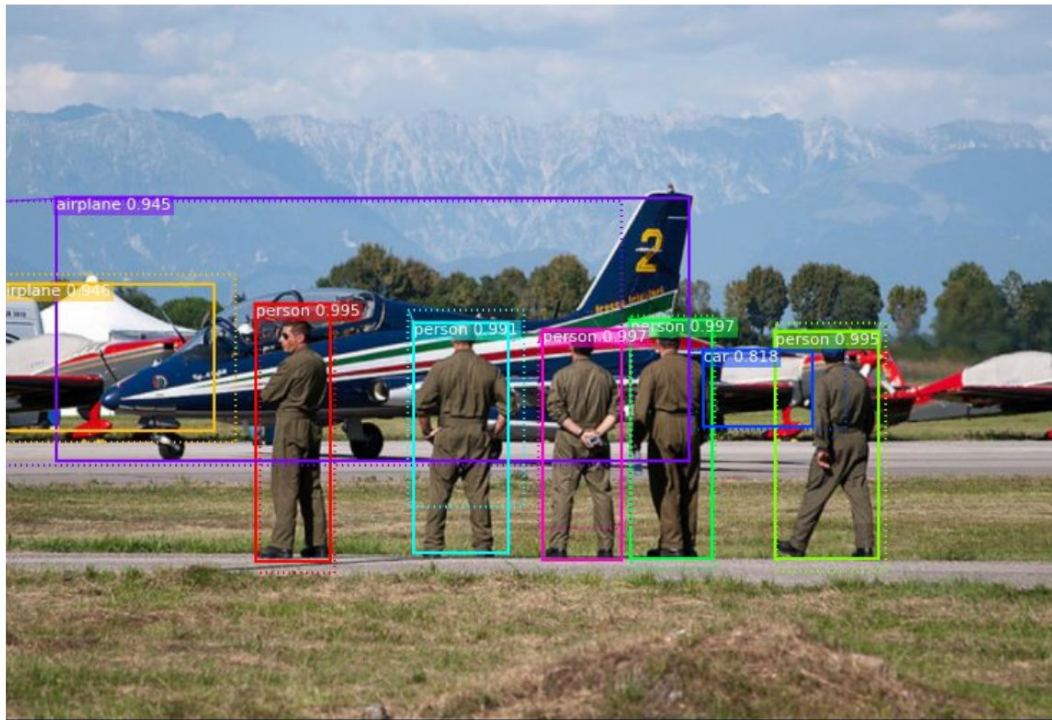
container ship

motor scooter

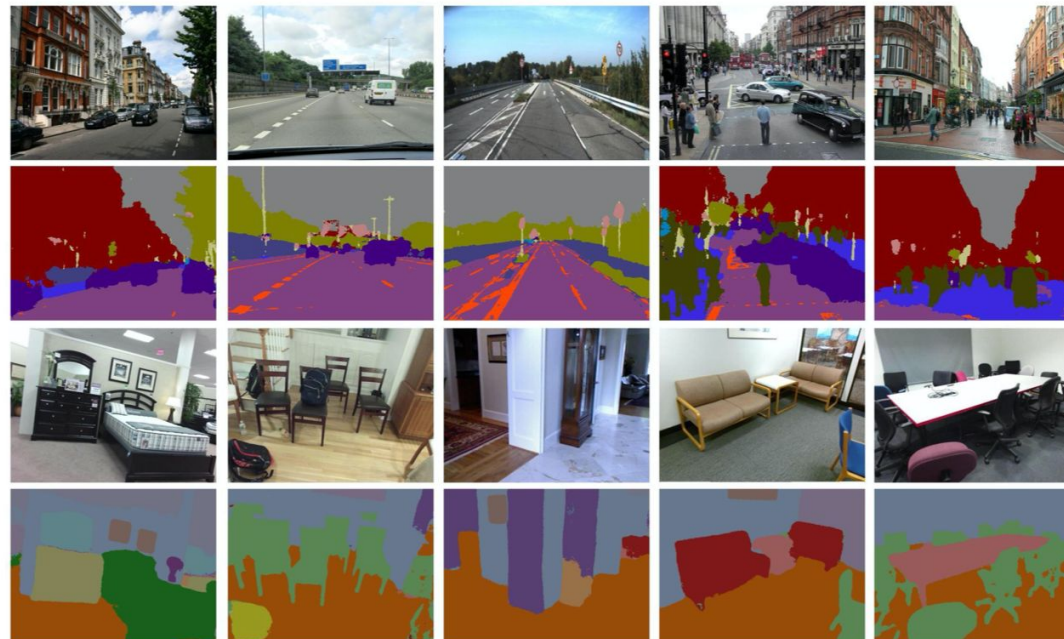
leopard

mite	container ship	motor scooter	leopard
black widow	lifeboat	motor scooter	leopard
cockroach	amphibian	go-kart	jaguar
tick	fireboat	moped	cheetah
starfish	drilling platform	bumper car	snow leopard
		golfcart	Egyptian cat

# Детекция объектов



# Семантическая сегментация изображения



# Аннотация изображений

A person riding a motorcycle on a dirt road.



Two dogs play in the grass.



A skateboarder does a trick on a ramp.



A dog is jumping to catch a frisbee.



A group of young people playing a game of frisbee.



Two hockey players are fighting over the puck.



A little girl in a pink hat is blowing bubbles.



A refrigerator filled with lots of food and drinks.



A herd of elephants walking across a dry grass field.



A close up of a cat laying on a couch.



A red motorcycle parked on the side of the road.



A yellow school bus parked in a parking lot.



## **В программе курса:**

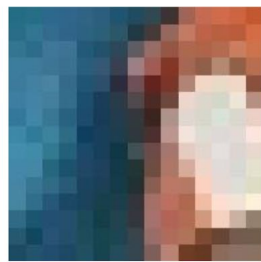
- Базовая теория: форматы, преобразование изображений с помощью фильтров, знакомство с библиотекой OpenCV.
- Извлечение признаков, РСА разложение, гистограммы цвета и градиента, особые точки.
- Сегментация изображений, детекция объектов на изображении - классические подходы.
- Сверточные сети для обработки изображений. Основные блоки. Знакомство с фреймворком PyTorch.
- Архитектуры для классификации изображений. Аугментация данных, тюнинг обученных сетей.
- Проблемы при обучении нейронных сетей и как их решать.
- Сегментация изображений, детекция объектов на изображении с помощью нейросетей.
- Распознание лиц. Две постановки задачи - классификация и верификация. Задача Metric Learning.
- Латентное представление изображений. Autoencoders и Variational Autoencoders.
- Генеративно-состязательные модели.
- Рекуррентные сети. Архитектура RNN, LSTM, GRU. Генерация описания по изображению.

# Что такое изображение?



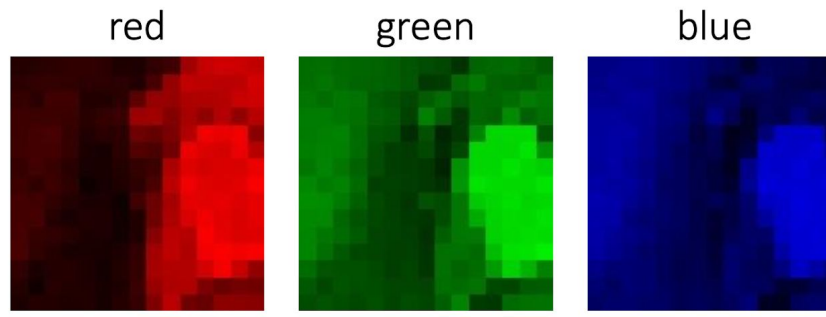
A (color) image  
is a 3D tensor  
of numbers.

# Что такое изображение?

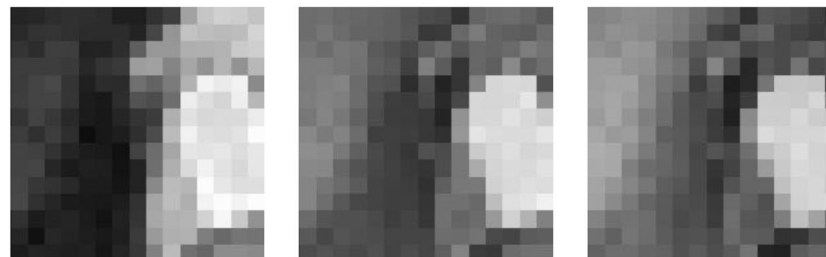


color image patch

How many bits are  
the intensity values?



colorized for visualization



actual intensity values per channel

Each channel  
is a 2D array of  
numbers.

# Что такое изображение?

$F$



Filtering



$$G(\mathbf{x}) = h\{F(\mathbf{x})\}$$

$G$



changes *range* of image function

$F$

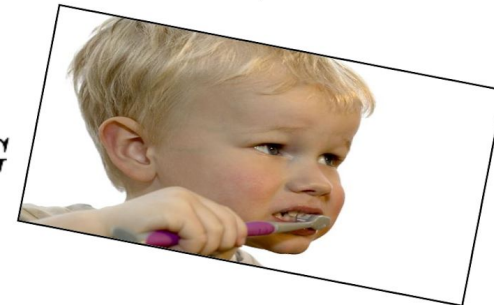


Warping



$$G(\mathbf{x}) = F(h\{\mathbf{x}\})$$

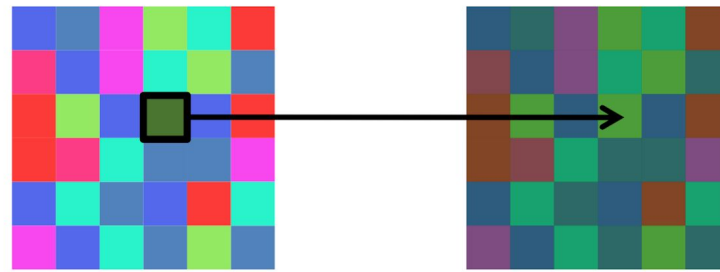
$G$



changes *domain* of image function

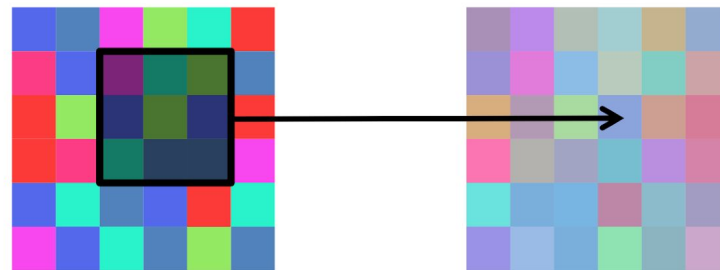
# Какие преобразования можем проводить?

Point Operation



point processing

Neighborhood Operation



“filtering”

# Примеры point processing

original



darken



lower contrast



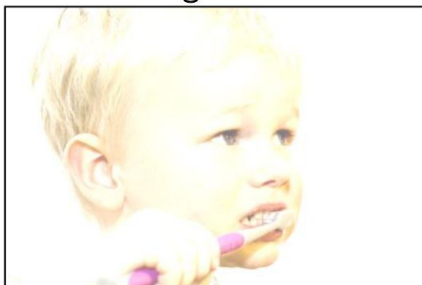
non-linear lower contrast



invert



lighten



raise contrast



non-linear raise contrast



# Примеры point processing

original



$$x$$

darker



$$x - 128$$

lower contrast



$$\frac{x}{2}$$

non-linear lower contrast



$$\left(\frac{x}{255}\right)^{1/3} \times 255$$

invert



$$255 - x$$

lighten



$$x + 128$$

raise contrast



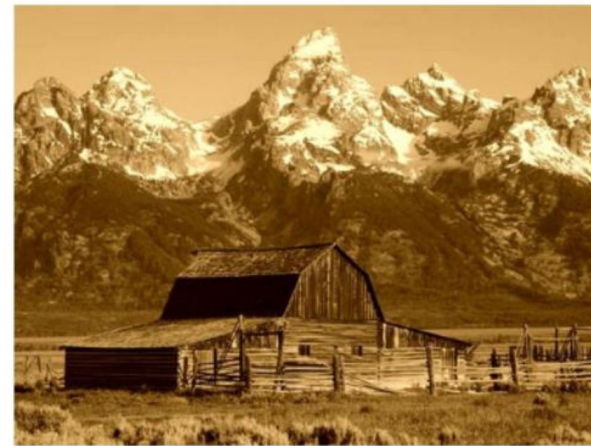
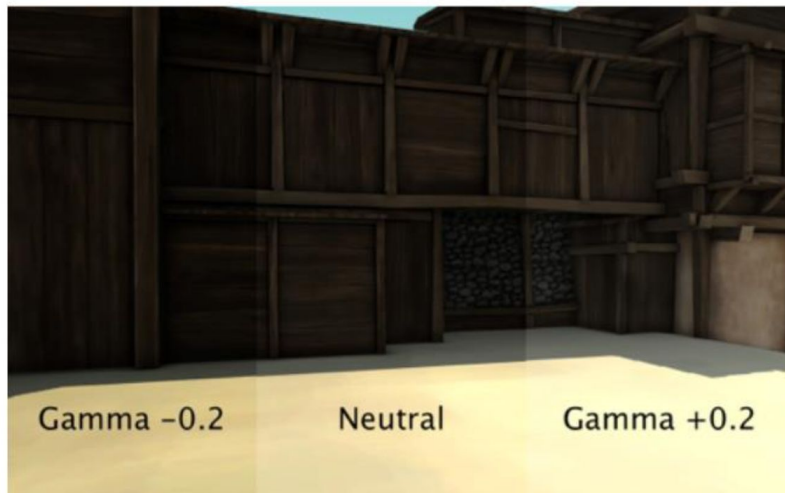
$$x \times 2$$

non-linear raise contrast



$$\left(\frac{x}{255}\right)^2 \times 255$$

# И много других преобразований...



# Linear shift-invariant image filtering

# Linear shift invariant filtering

- заменим каждый пиксель линейной комбинацией соседей (и самого себя)
- комбинация задается ядром
- одинаковое ядро применяется ко всем пикселям изображения

## Example: box filter

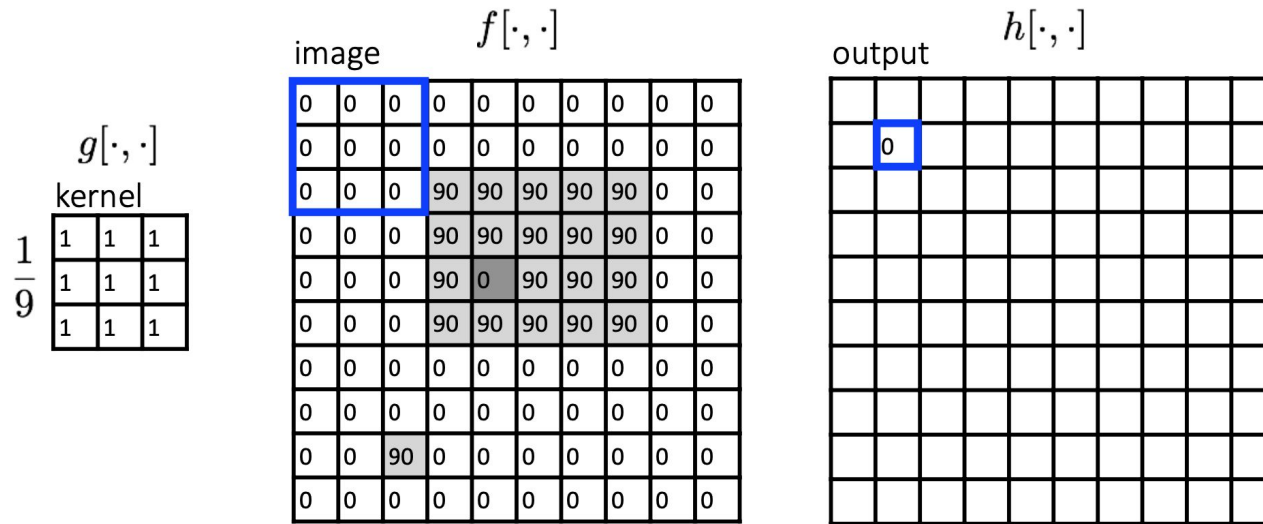
Ядро  $g[\cdot, \cdot] = \frac{1}{9}$

1	1	1
1	1	1
1	1	1

- заменяет пиксель локальным средним
- обладает сглаживающим (blurring) эффектов



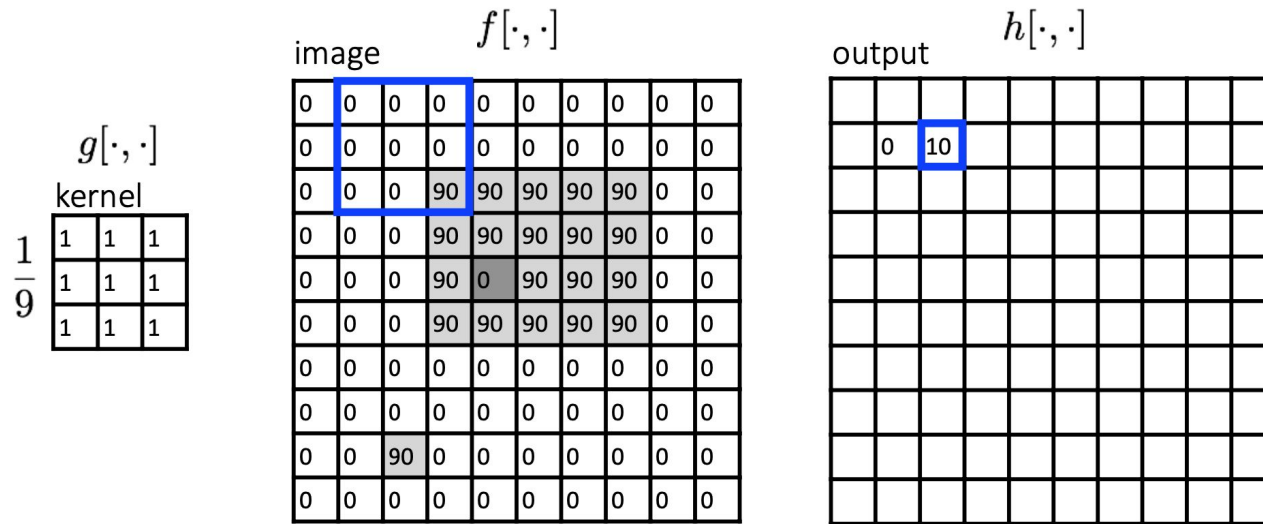
# Применим box filter



$$h[m, n] = \sum_{k,l} g[k, l] f[m + k, n + l]$$

output      filter      image (signal)

# Применим box filter



$$h[m, n] = \sum_{k, l} g[k, l] f[m + k, n + l]$$

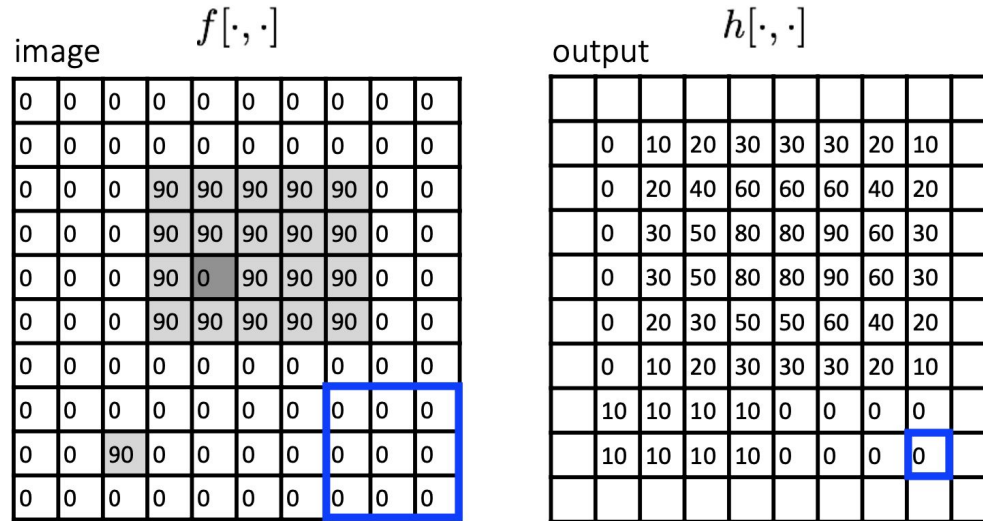
output      filter      image (signal)

# Применим box filter

$$g[\cdot, \cdot]$$

kernel

$$\frac{1}{9} \begin{bmatrix} 1 & 1 & 1 \\ 1 & 1 & 1 \\ 1 & 1 & 1 \end{bmatrix}$$



$$h[m, n] = \sum_{k, l} g[k, l] f[m + k, n + l]$$

output      filter      image (signal)

# Применим box filter

$$g[\cdot, \cdot]$$

kernel

$$\frac{1}{9} \begin{bmatrix} 1 & 1 & 1 \\ 1 & 1 & 1 \\ 1 & 1 & 1 \end{bmatrix}$$

image

0	0	0	0	0	0	0	0	0	0	0	0
0	0	0	0	0	0	0	0	0	0	0	0
0	0	0	90	90	90	90	90	0	0	0	0
0	0	0	90	90	90	90	90	90	0	0	0
0	0	0	90	0	90	90	90	90	0	0	0
0	0	0	90	90	90	90	90	90	0	0	0
0	0	0	0	0	0	0	0	0	0	0	0
0	0	0	0	0	0	0	0	0	0	0	0
0	0	90	0	0	0	0	0	0	0	0	0
0	0	0	0	0	0	0	0	0	0	0	0

output

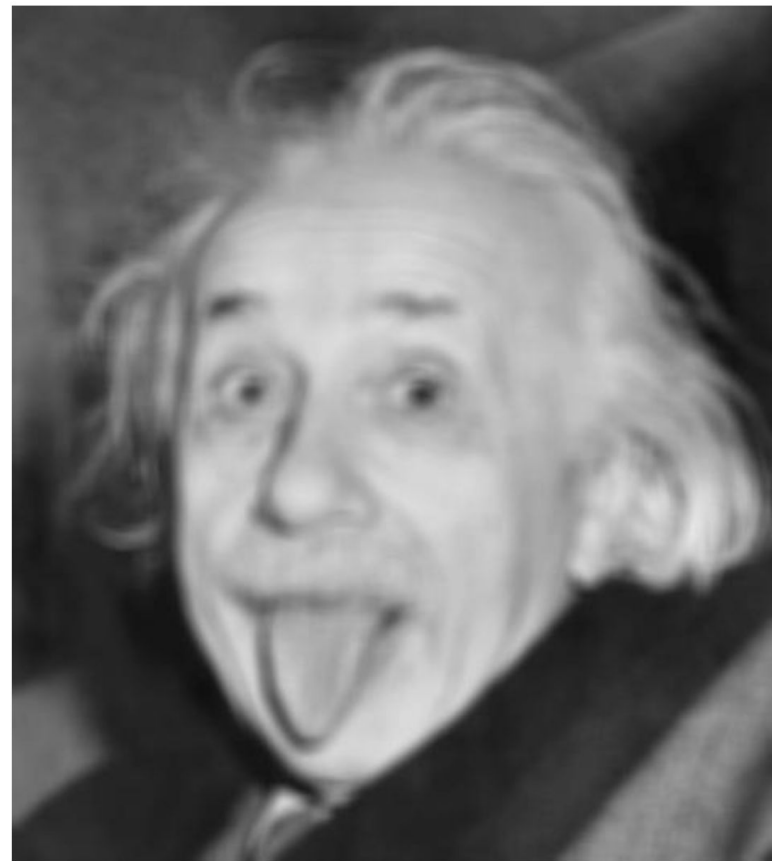
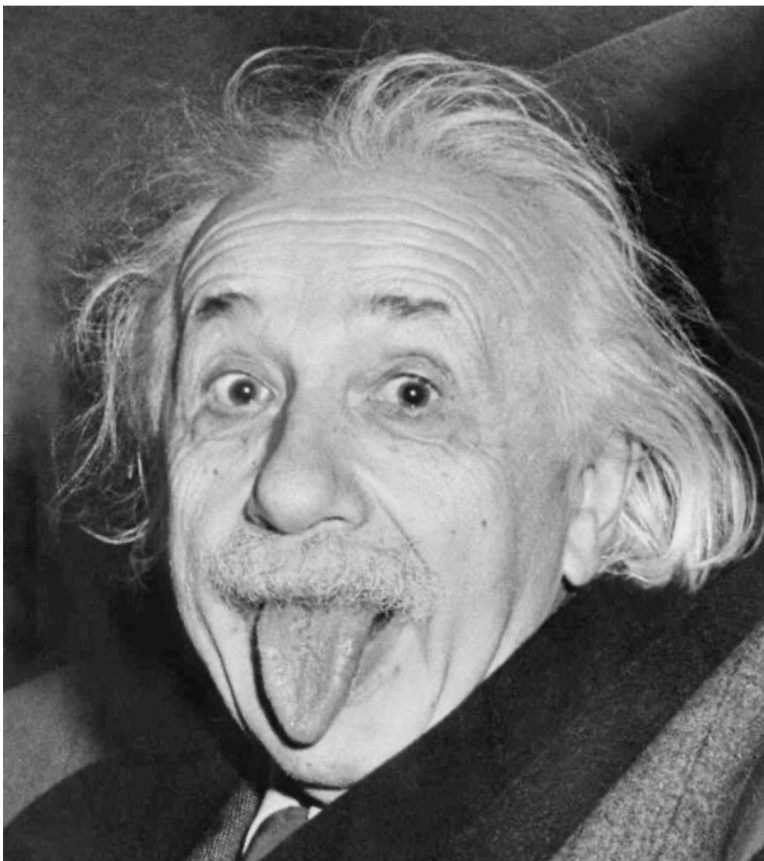
$h[\cdot, \cdot]$

0	10	20	30	30	30	30	20	10			
0	20	40	60	60	60	60	40	20			
0	30	50	80	80	80	90	60	30			
0	30	50	80	80	90	60	30				
0	20	30	50	50	60	40	20				
0	10	20	30	30	30	20	10				
10	10	10	10	0	0	0	0	0			
10	10	10	10	0	0	0	0	0			

$$h[m, n] = \sum_{k, l} g[k, l] f[m + k, n + l]$$

output       $k, l$       filter      image (signal)

# Реальный пример



# Реальный пример



# Реальный пример



# Convolution (свертка)

# Свертка 1D непрерывного сигнала

## Definition of filtering as convolution:

$$(f * g)(x) = \int_{-\infty}^{\infty} f(y)g(x - y)dy$$

← notice the flip

filtered signal      ← filter      ← input signal

# Свертка 1D непрерывного сигнала

Definition of filtering as convolution:

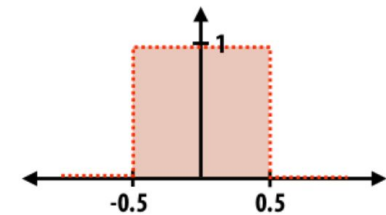
$$(f * g)(x) = \int_{-\infty}^{\infty} f(y)g(x - y)dy$$

filtered signal      filter      input signal      notice the flip

Consider the box filter example:

1D continuous  
box filter

$$f(x) = \begin{cases} 1 & |x| \leq 0.5 \\ 0 & otherwise \end{cases}$$



filtering output is a  
blurred version of g

$$(f * g)(x) = \int_{-0.5}^{0.5} g(x - y)dy$$

# Свертка 2D дискретного сигнала

Definition of filtering as convolution:

$$(f * g)(x, y) = \sum_{i,j=-\infty}^{\infty} f(i, j)I(x - i, y - j)$$

filtered image      filter      input image      notice the flip

# Свертка 2D дискретного сигнала

Definition of filtering as convolution:

$$(f * g)(x, y) = \sum_{i,j=-\infty}^{\infty} f(i, j)I(x - i, y - j)$$

filtered image      filter      input image      notice the flip

If the filter  $f(i, j)$  is non-zero only within  $-1 \leq i, j \leq 1$ , then

$$(f * g)(x, y) = \sum_{i,j=-1}^{1} f(i, j)I(x - i, y - j)$$

# Свертка vs Корреляция

Definition of discrete 2D convolution:

$$(f * g)(x, y) = \sum_{i,j=-\infty}^{\infty} f(i, j)I(x - i, y - j)$$

↑ notice the flip

Definition of discrete 2D correlation:

$$(f * g)(x, y) = \sum_{i,j=-\infty}^{\infty} f(i, j)I(x + i, y + j)$$

↑ notice the lack of a flip

# Сепарабельные фильтры

A 2D filter is separable if it can be written as the product of a “column” and a “row”.

example:  
box filter

1	1	1
1	1	1
1	1	1

=

1
1
1

\*

1	1	1
---	---	---

row

column

# Сепарабельные фильтры

A 2D filter is separable if it can be written as the product of a “column” and a “row”.

example:  
box filter

1	1	1
1	1	1
1	1	1

=

1
1
1

\*

1	1	1
---	---	---

row

column

# Сепарабельные фильтры

A 2D filter is separable if it can be written as the product of a “column” and a “row”.

example:  
box filter

$$\begin{array}{|c|c|c|} \hline 1 & 1 & 1 \\ \hline 1 & 1 & 1 \\ \hline 1 & 1 & 1 \\ \hline \end{array} = \begin{array}{|c|} \hline 1 \\ \hline 1 \\ \hline 1 \\ \hline \end{array} * \begin{array}{|c|c|c|} \hline 1 & 1 & 1 \\ \hline \end{array}$$

row

column

2D convolution with a separable filter is equivalent to two 1D convolutions (with the “column” and “row” filters).

If the image has  $M \times M$  pixels and the filter kernel has size  $N \times N$ :

- What is the cost of convolution with a non-separable filter?
- What is the cost of convolution with a separable filter?

# Сепарабельные фильтры

A 2D filter is separable if it can be written as the product of a “column” and a “row”.

example:  
box filter

$$\begin{array}{|c|c|c|} \hline 1 & 1 & 1 \\ \hline 1 & 1 & 1 \\ \hline 1 & 1 & 1 \\ \hline \end{array} = \begin{array}{|c|} \hline 1 \\ \hline 1 \\ \hline 1 \\ \hline \end{array} * \begin{array}{|c|c|c|} \hline 1 & 1 & 1 \\ \hline \end{array}$$

row

column

2D convolution with a separable filter is equivalent to two 1D convolutions (with the “column” and “row” filters).

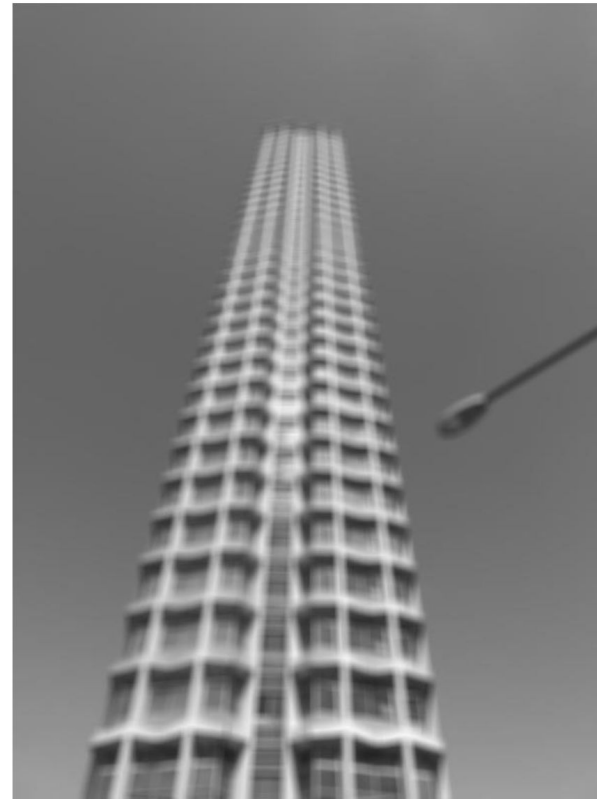
If the image has  $M \times M$  pixels and the filter kernel has size  $N \times N$ :

- What is the cost of convolution with a non-separable filter?  $\longrightarrow M^2 \times N^2$
- What is the cost of convolution with a separable filter?  $\longrightarrow 2 \times N \times M^2$

# Больше фильтров...



original

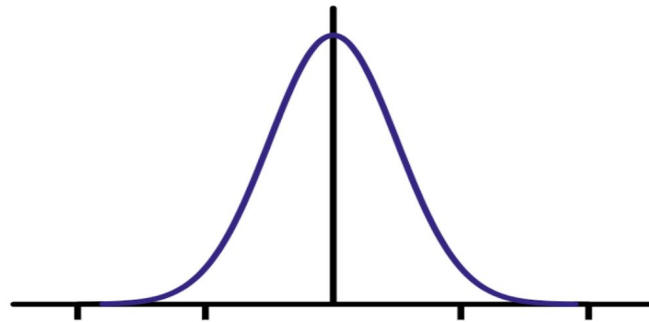


3x3 box filter

# Гауссовский фильтр

- named (like many other things) after Carl Friedrich Gauss
- kernel values sampled from the 2D Gaussian function:

$$f(i, j) = \frac{1}{2\pi\sigma^2} e^{-\frac{i^2+j^2}{2\sigma^2}}$$



- weight falls off with distance from center pixel
- theoretically infinite, in practice truncated to some maximum distance

Any heuristics for selecting where to truncate?

# Гауссовский фильтр

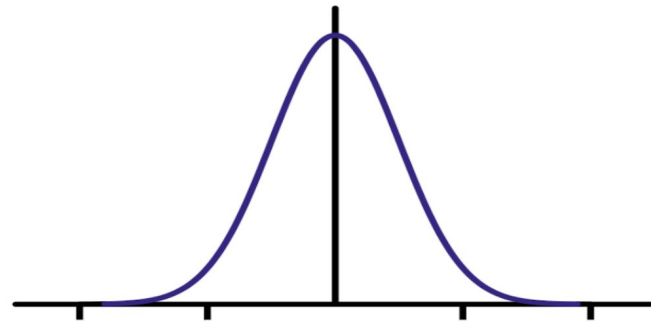
- named (like many other things) after Carl Friedrich Gauss
- kernel values sampled from the 2D Gaussian function:

$$f(i, j) = \frac{1}{2\pi\sigma^2} e^{-\frac{i^2+j^2}{2\sigma^2}}$$

- weight falls off with distance from center pixel
- theoretically infinite, in practice truncated to some maximum distance

Any heuristics for selecting where to truncate?

- usually at  $2-3\sigma$

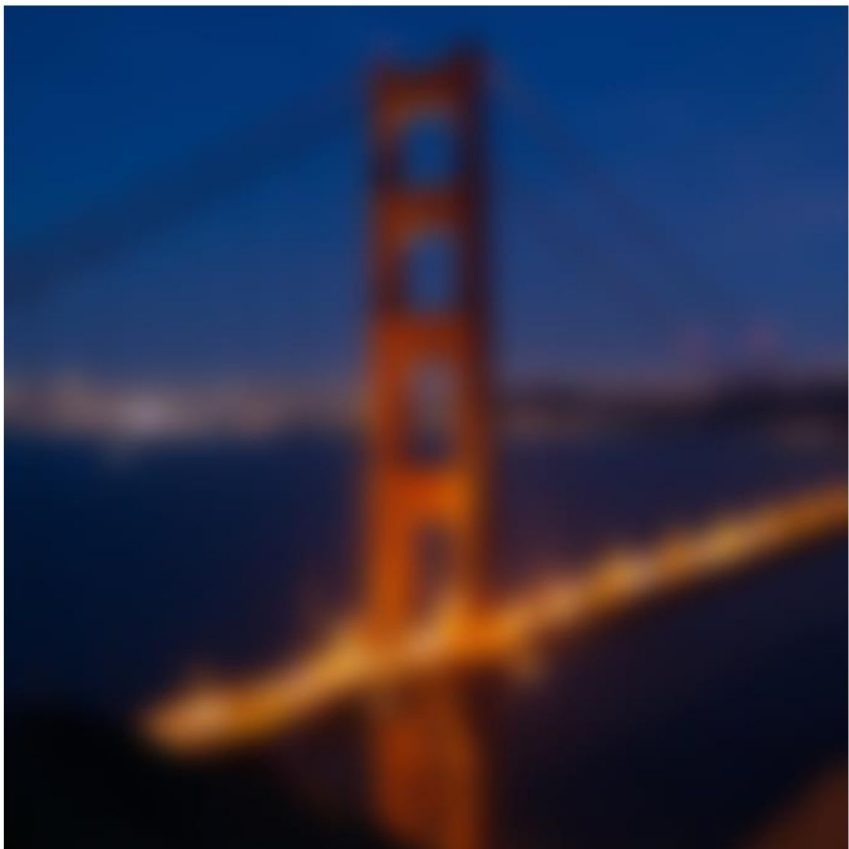


Is this a separable filter? Yes!

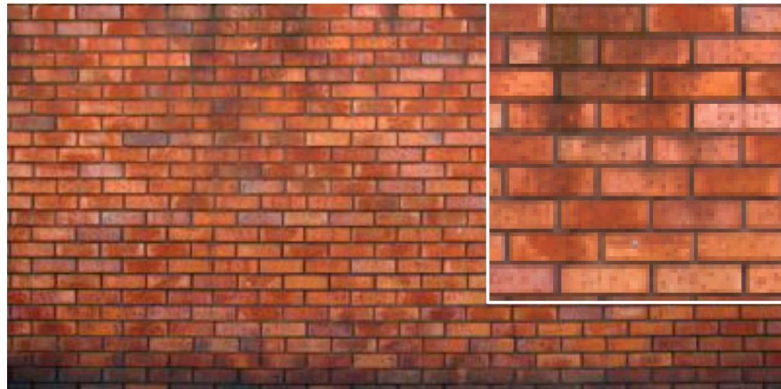
kernel  $\frac{1}{16}$ 

1	2	1
2	4	2
1	2	1

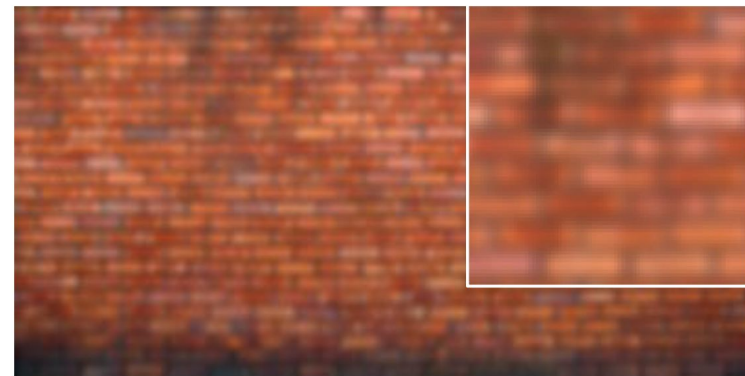
# Гауссовский фильтр



# Гауссовский vs box фильтр



original



7x7 Gaussian



7x7 box

## Создаем мягкую тень

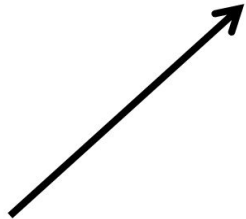
**CMU**

**CMU**



**CMU**

overlay



Gaussian blur

# Другие фильтры

input



filter

0	0	0
0	1	0
0	0	0

input

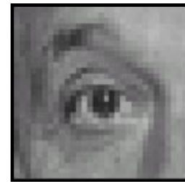


filter

0	0	0
0	0	1
0	0	0

# Другие фильтры

input



filter

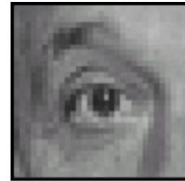
0	0	0
0	1	0
0	0	0

output



unchanged

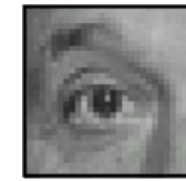
input



filter

0	0	0
0	0	1
0	0	0

output



shift to left  
by one

# Другие фильтры

input



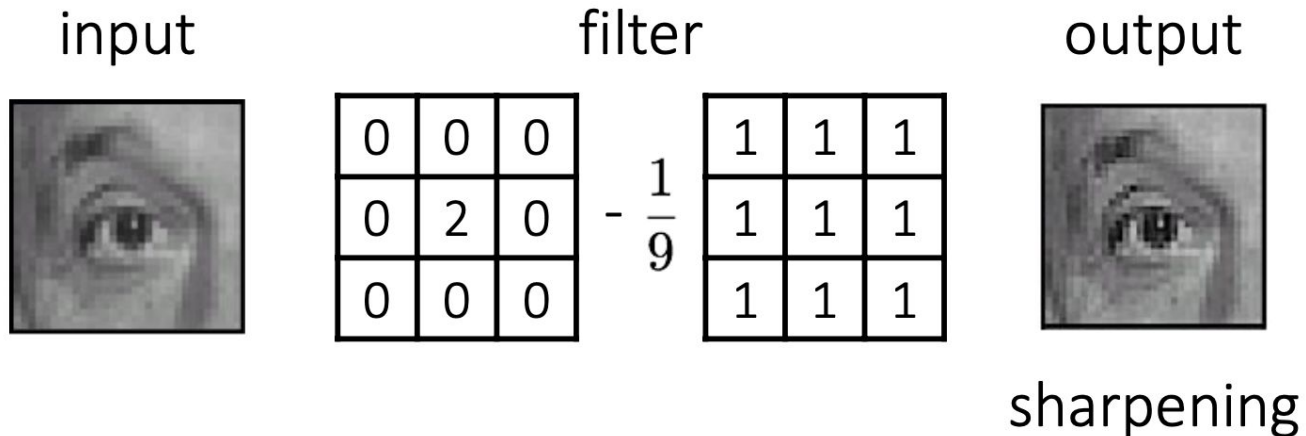
filter

0	0	0
0	2	0
0	0	0

$$- \frac{1}{9}$$

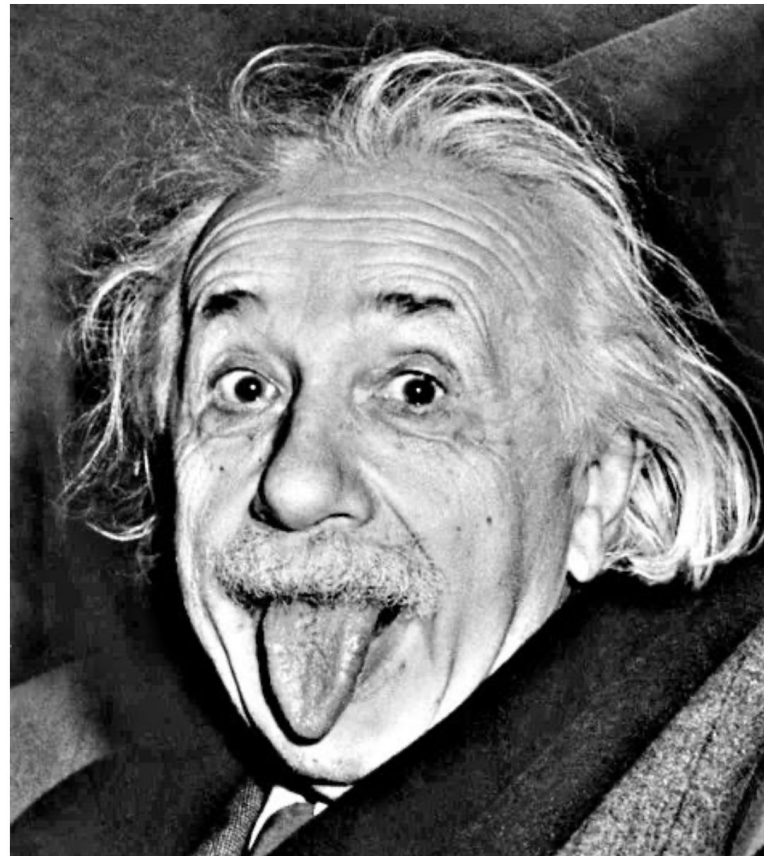
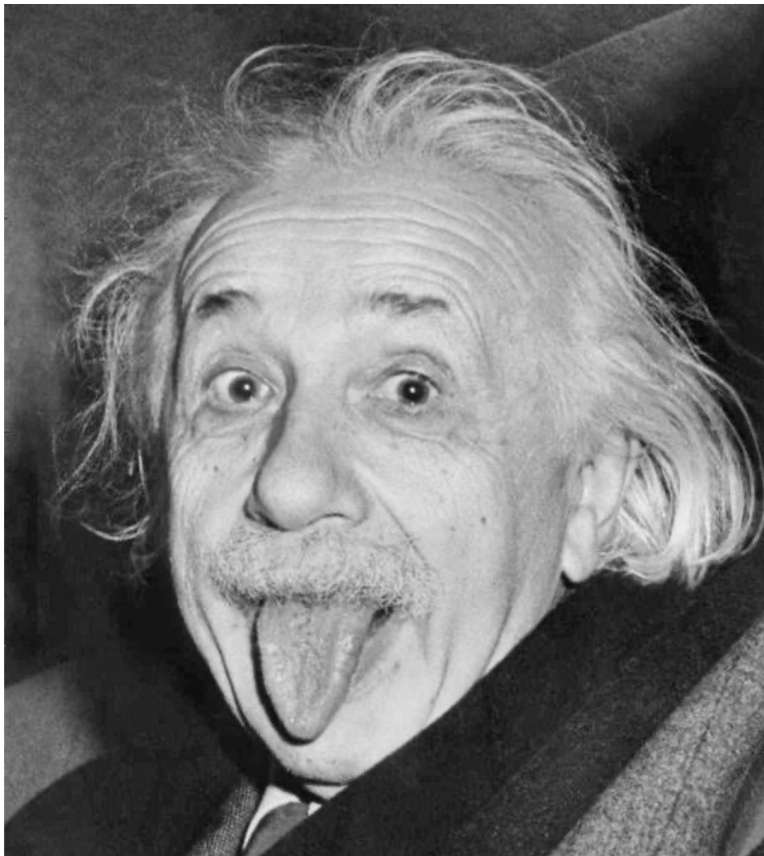
1	1	1
1	1	1
1	1	1

# Другие фильтры



- do nothing for flat areas
- stress intensity peaks

## Примеры sharpening



# Примеры sharpening



# Padding

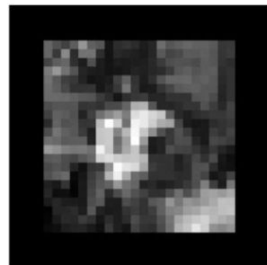
При свертке проблематично считать значения на краях изображения

Какие есть варианты?

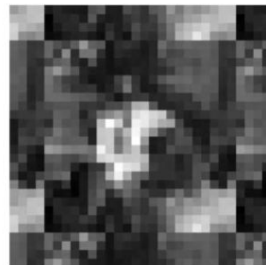
# Padding

При свертке проблематично считать значения на краях изображения

Какие есть варианты?



zero



wrap



clamp



mirror

Ищем границы изображения

# Edge detection

**Задача:** выделить резкие изменения (разрывы) в изображении

Интуитивно понятно, что большая часть информации об изображении содержится в краях:

- Соответствует человеческому восприятию мира
- Компактнее, чем пиксели

**Идеал:** рисунок художника (но ему легче - он уже знает, какой объект рисует, есть априорная информация)

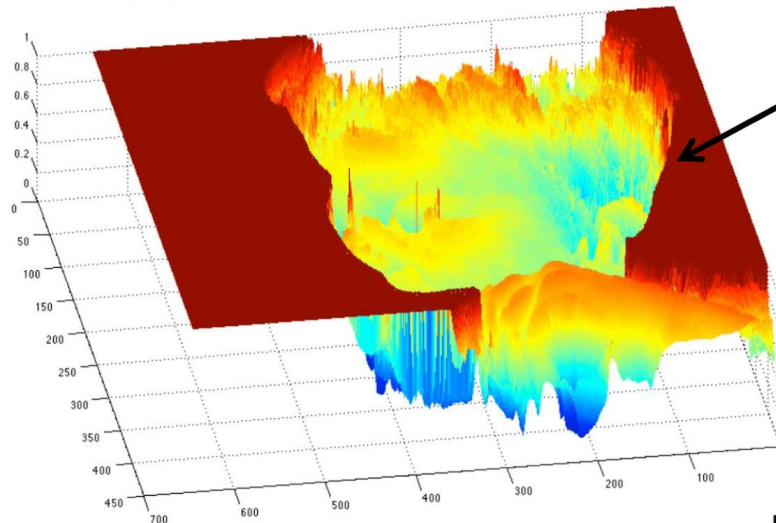


# Image edges (границы изображения)



grayscale image

$$f(\mathbf{x})$$



Very sharp  
discontinuities  
in intensity.

domain  $\mathbf{x} = \begin{bmatrix} x \\ y \end{bmatrix}$

# Как находить края края?

How would you go about detecting edges in an image (i.e., discontinuities in a function)?

How do you differentiate a discrete image (or any other discrete signal)?

# Как находить края края?

How would you go about detecting edges in an image (i.e., discontinuities in a function)?

- ✓ You take derivatives: derivatives are large at discontinuities.

How do you differentiate a discrete image (or any other discrete signal)?

- ✓ You use finite differences.

# Метод конечных разностей

High-school reminder: definition of a derivative using forward difference

$$f'(x) = \lim_{h \rightarrow 0} \frac{f(x + h) - f(x)}{h}$$

# Метод конечных разностей

High-school reminder: definition of a derivative using forward difference

$$f'(x) = \lim_{h \rightarrow 0} \frac{f(x + h) - f(x)}{h}$$

Alternative: use central difference

$$f'(x) = \lim_{h \rightarrow 0} \frac{f(x + 0.5h) - f(x - 0.5h)}{h}$$

For discrete signals: Remove limit and set  $h = 2$

$$f'(x) = \frac{f(x + 1) - f(x - 1)}{2}$$

1D derivative filter

1	0	-1
---	---	----

# Фильтр Собеля

$$\begin{bmatrix} 1 & 0 & -1 \\ 2 & 0 & -2 \\ 1 & 0 & -1 \end{bmatrix}$$

Sobel filter

=

$$\begin{bmatrix} 1 \\ 2 \\ 1 \end{bmatrix}$$

Blurring

\*

$$\begin{bmatrix} 1 & 0 & -1 \end{bmatrix}$$

1D derivative  
filter

# Фильтр Собеля

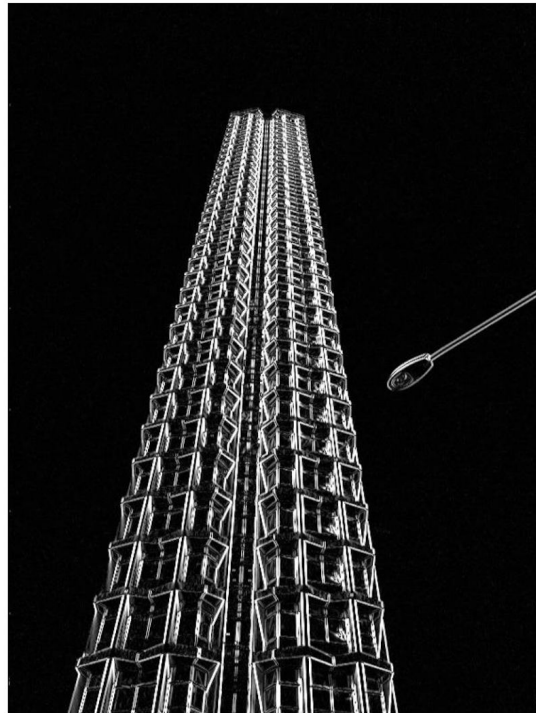
Horizontal Sober filter:

$$\begin{bmatrix} 1 & 0 & -1 \\ 2 & 0 & -2 \\ 1 & 0 & -1 \end{bmatrix} = \begin{bmatrix} 1 \\ 2 \\ 1 \end{bmatrix} * \begin{bmatrix} 1 & 0 & -1 \end{bmatrix}$$

Vertical Sobel filter:

$$\begin{bmatrix} 1 & 2 & 1 \\ 0 & 0 & 0 \\ -1 & -2 & -1 \end{bmatrix} = \begin{bmatrix} 1 \\ 0 \\ -1 \end{bmatrix} * \begin{bmatrix} 1 & 2 & 1 \end{bmatrix}$$

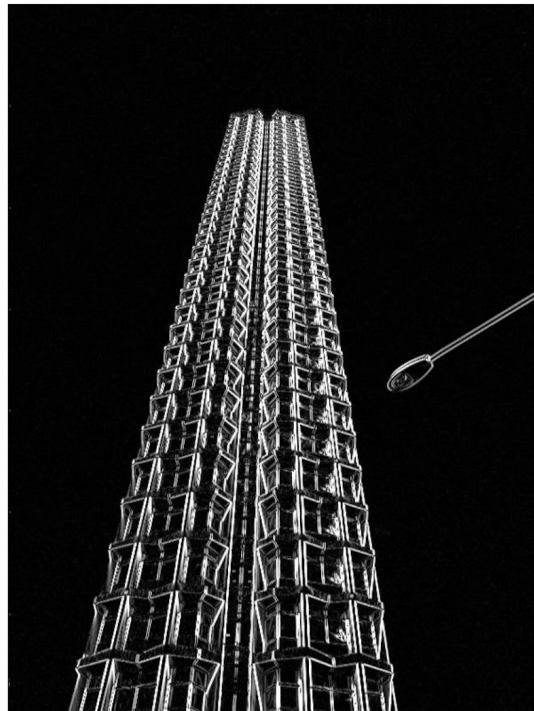
# Пример



# Пример



original

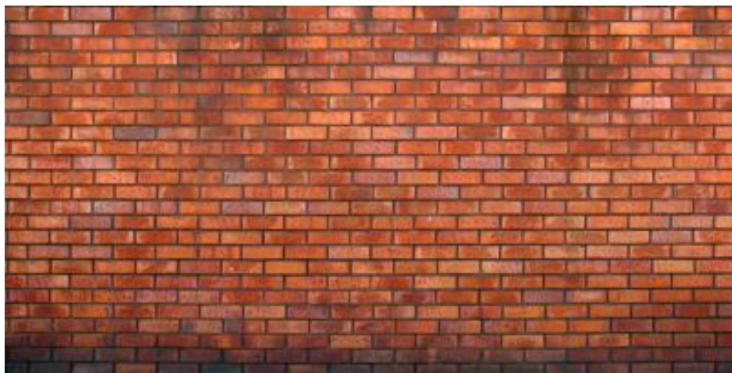


horizontal Sobel filter

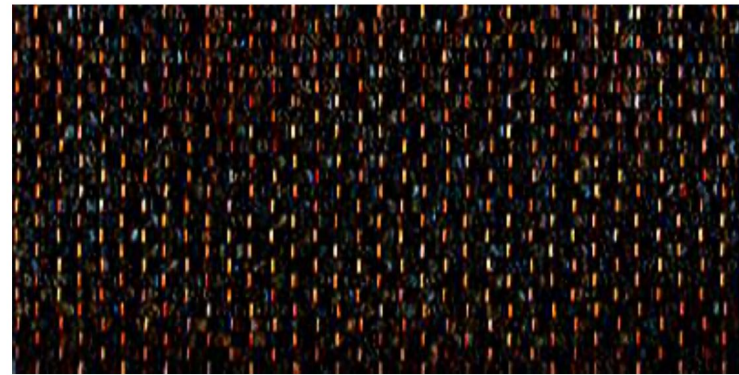


vertical Sobel filter

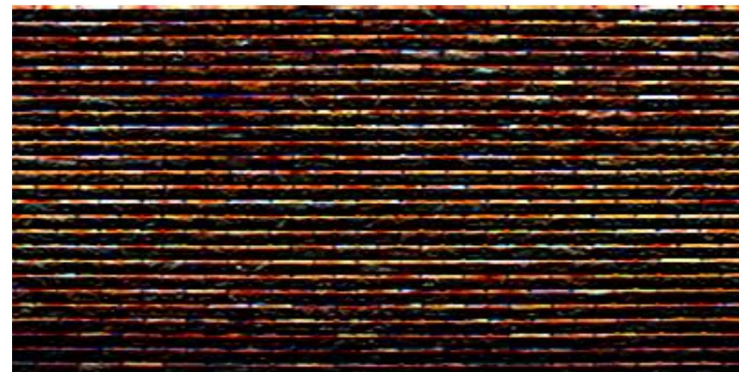
# Пример



original



horizontal Sobel filter



vertical Sobel filter

# Другие фильтры для взятия производной

Sobel

1	0	-1
2	0	-2
1	0	-1

1	2	1
0	0	0
-1	-2	-1

Scharr

3	0	-3
10	0	-10
3	0	-3

3	10	3
0	0	0
-3	-10	-3

Prewitt

1	0	-1
1	0	-1
1	0	-1

1	1	1
0	0	0
-1	-1	-1

Roberts

0	1
-1	0

1	0
0	-1

# Градиенты изображения

1. Select your favorite derivative filters.

$$\mathbf{S}_x = \begin{array}{|c|c|c|} \hline 1 & 0 & -1 \\ \hline 2 & 0 & -2 \\ \hline 1 & 0 & -1 \\ \hline \end{array}$$

$$\mathbf{S}_y = \begin{array}{|c|c|c|} \hline 1 & 2 & 1 \\ \hline 0 & 0 & 0 \\ \hline -1 & -2 & -1 \\ \hline \end{array}$$

# Градиенты изображения

1. Select your favorite derivative filters.

$$\mathbf{S}_x = \begin{array}{|c|c|c|} \hline 1 & 0 & -1 \\ \hline 2 & 0 & -2 \\ \hline 1 & 0 & -1 \\ \hline \end{array}$$

$$\mathbf{S}_y = \begin{array}{|c|c|c|} \hline 1 & 2 & 1 \\ \hline 0 & 0 & 0 \\ \hline -1 & -2 & -1 \\ \hline \end{array}$$

2. Convolve with the image to compute derivatives.

$$\frac{\partial \mathbf{f}}{\partial x} = \mathbf{S}_x \otimes \mathbf{f}$$

$$\frac{\partial \mathbf{f}}{\partial y} = \mathbf{S}_y \otimes \mathbf{f}$$

# Градиенты изображения

1. Select your favorite derivative filters.

$$\mathbf{S}_x = \begin{bmatrix} 1 & 0 & -1 \\ 2 & 0 & -2 \\ 1 & 0 & -1 \end{bmatrix}$$

$$\mathbf{S}_y = \begin{bmatrix} 1 & 2 & 1 \\ 0 & 0 & 0 \\ -1 & -2 & -1 \end{bmatrix}$$

2. Convolve with the image to compute derivatives.

$$\frac{\partial \mathbf{f}}{\partial x} = \mathbf{S}_x \otimes \mathbf{f}$$

$$\frac{\partial \mathbf{f}}{\partial y} = \mathbf{S}_y \otimes \mathbf{f}$$

3. Form the image gradient, and compute its direction and amplitude.

$$\nabla \mathbf{f} = \left[ \frac{\partial \mathbf{f}}{\partial x}, \frac{\partial \mathbf{f}}{\partial y} \right]$$

gradient

$$\theta = \tan^{-1} \left( \frac{\partial f}{\partial y} / \frac{\partial f}{\partial x} \right)$$

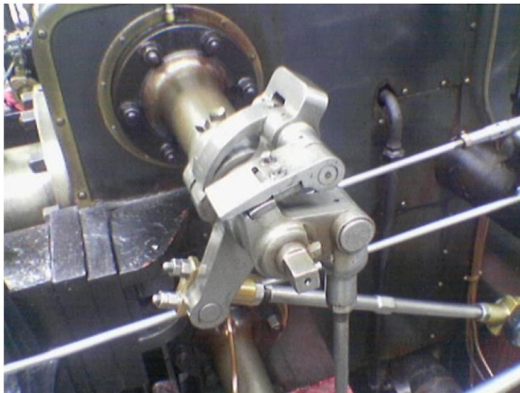
direction

$$||\nabla f|| = \sqrt{\left( \frac{\partial f}{\partial x} \right)^2 + \left( \frac{\partial f}{\partial y} \right)^2}$$

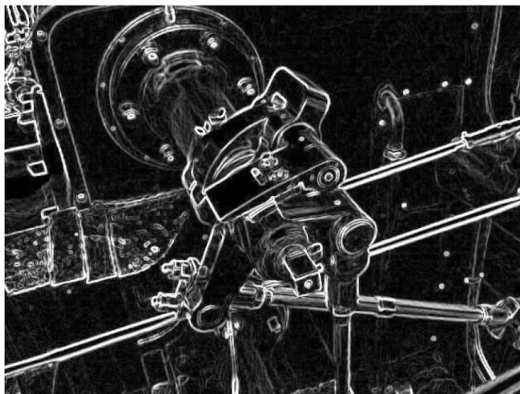
amplitude

# Пример

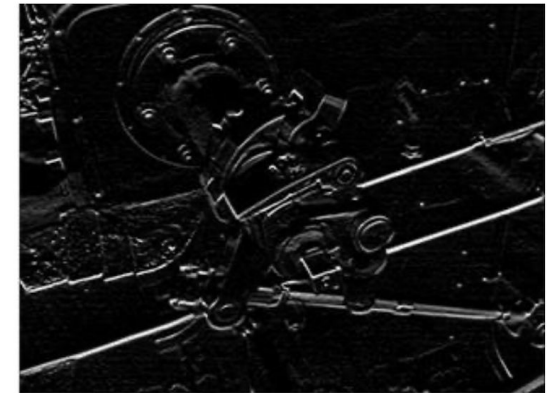
original



gradient  
amplitude



vertical  
derivative

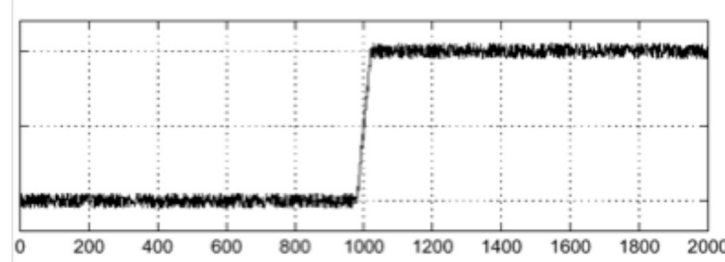


horizontal  
derivative



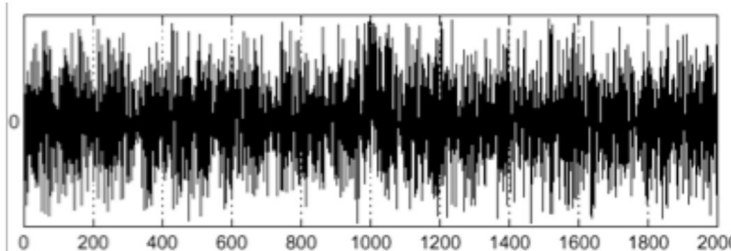
# Ищем границы сигнала

intensity plot



Using a derivative filter:

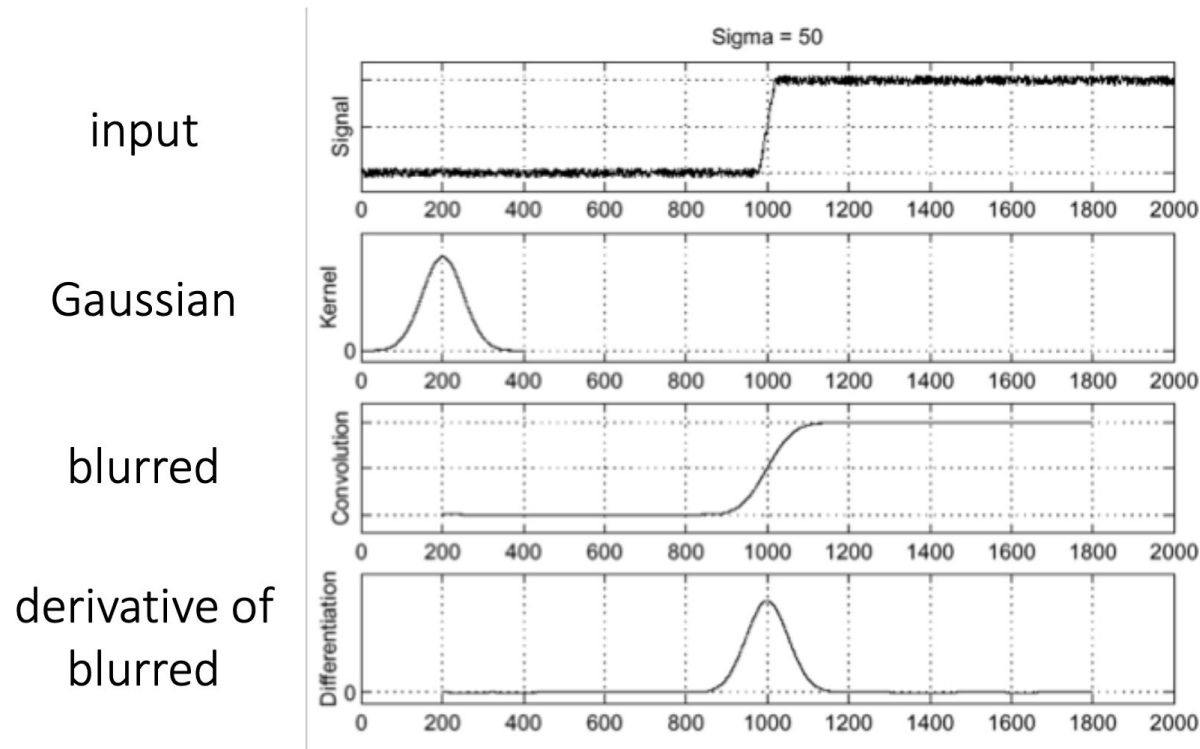
derivative plot



What's the  
problem here?

# Производные чувствительны к шуму

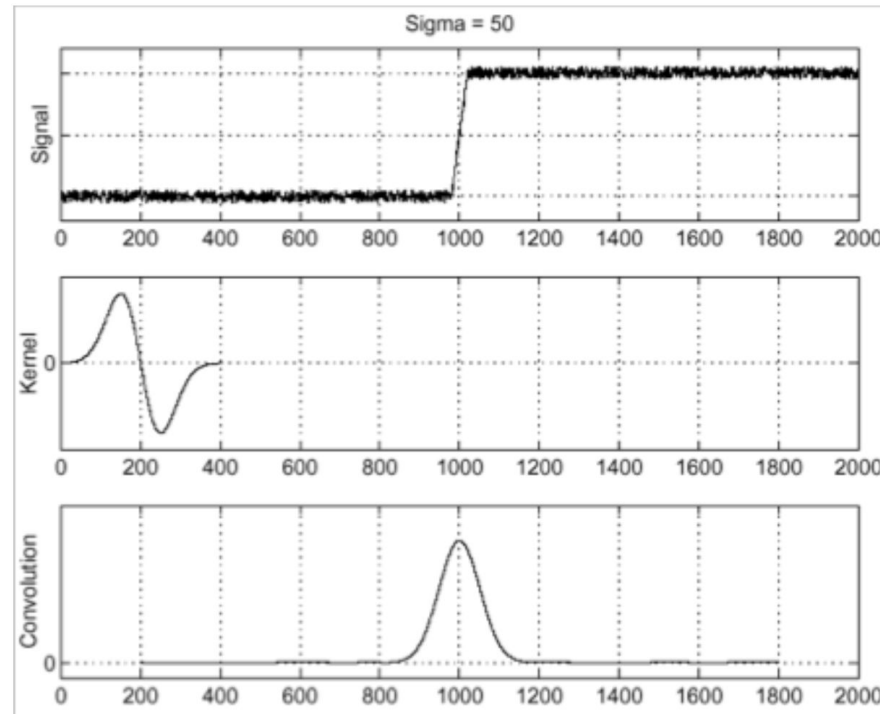
When using derivative filters, it is critical to blur first!



# Derivative of Gaussian (DoG) filter

Derivative theorem of convolution:  $\frac{\partial}{\partial x}(h \star f) = (\frac{\partial}{\partial x}h) \star f$

input



derivative of  
Gaussian

output (same  
as before)

# Фильтр Лапласа

Basically a second derivative filter.

- We can use finite differences to derive it, as with first derivative filter.

first-order  
finite difference     $f'(x) = \lim_{h \rightarrow 0} \frac{f(x + 0.5h) - f(x - 0.5h)}{h}$      $\rightarrow$     1D derivative filter

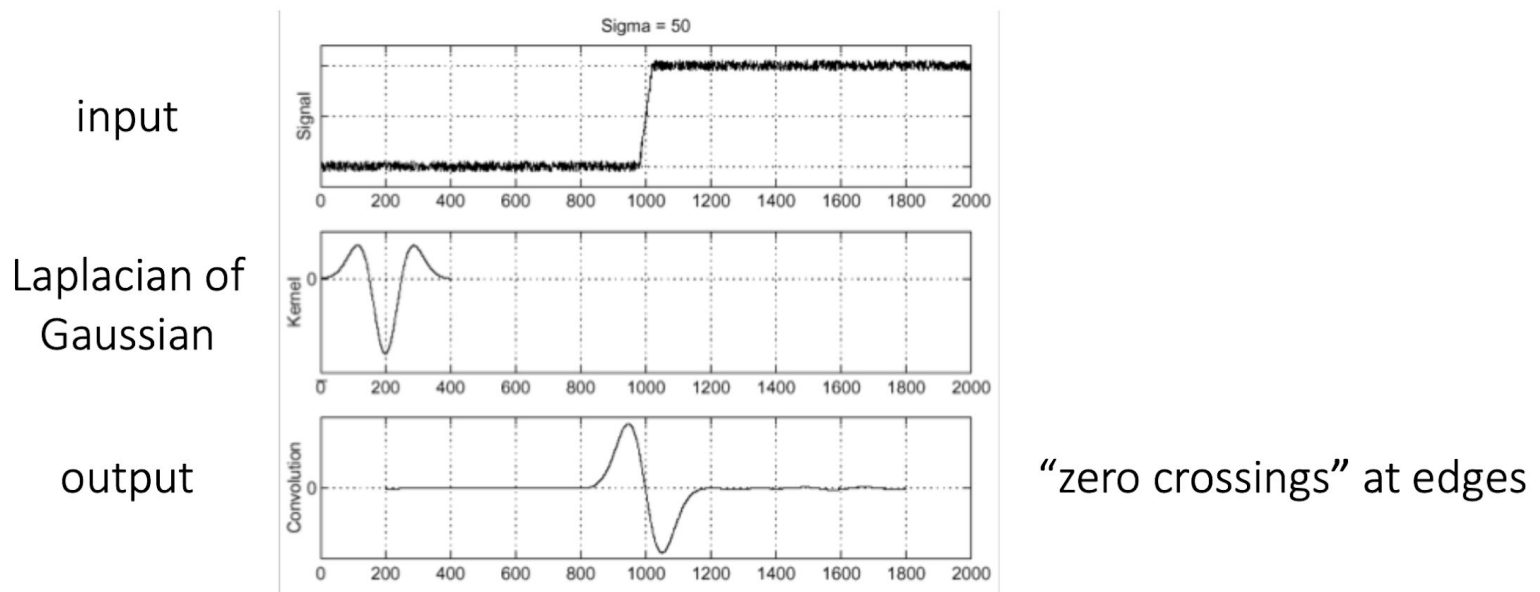
1	0	-1
---	---	----

second-order  
finite difference     $f''(x) = \lim_{h \rightarrow 0} \frac{f(x + h) - 2f(x) + f(x - h)}{h^2}$      $\rightarrow$     Laplace filter

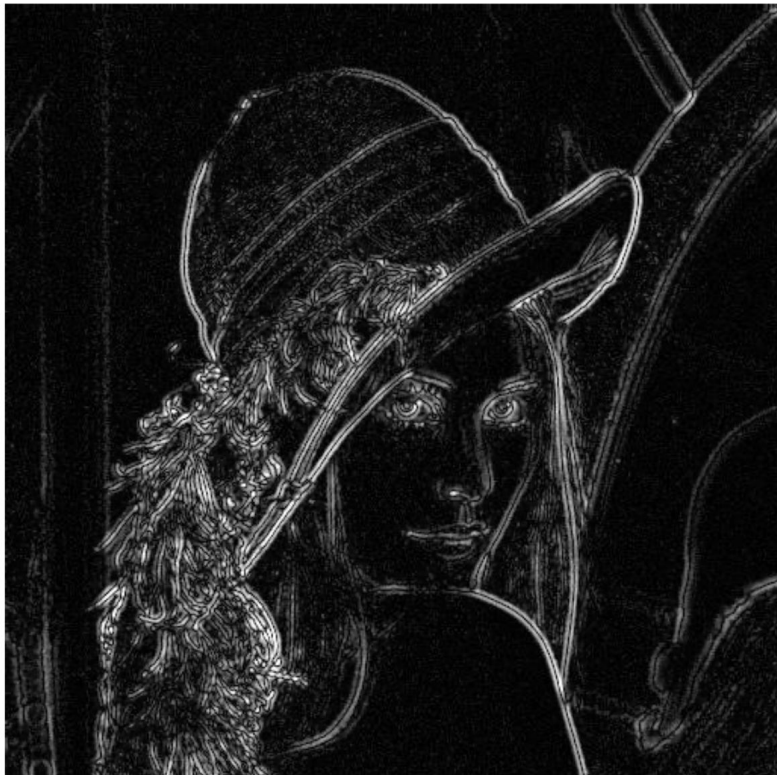
1	-2	1
---	----	---

# Laplacian of Gaussian (LoG) filter

As with derivative, we can combine Laplace filtering with Gaussian filtering



# LoG vs Laplace



Laplacian of Gaussian filtering



Laplace filtering

# LoG vs DoG

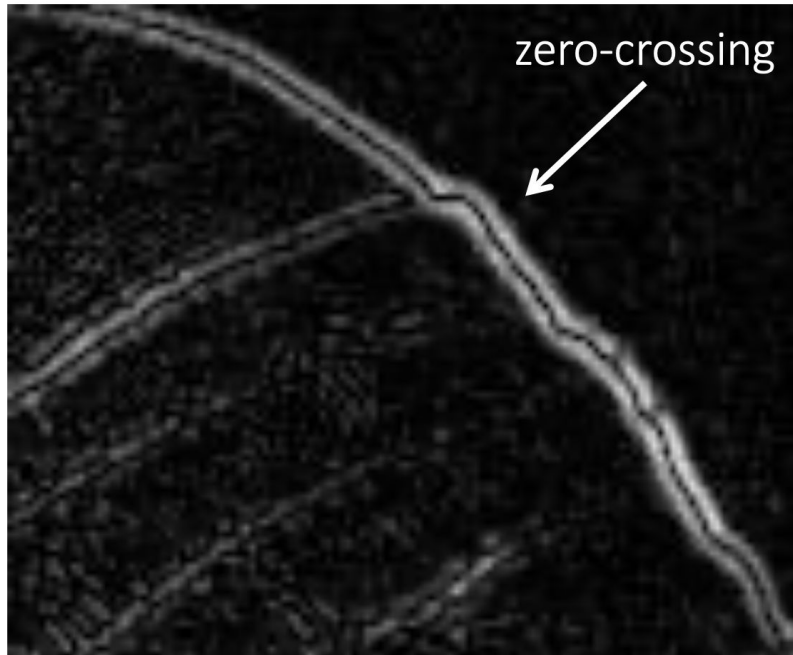


Laplacian of Gaussian filtering

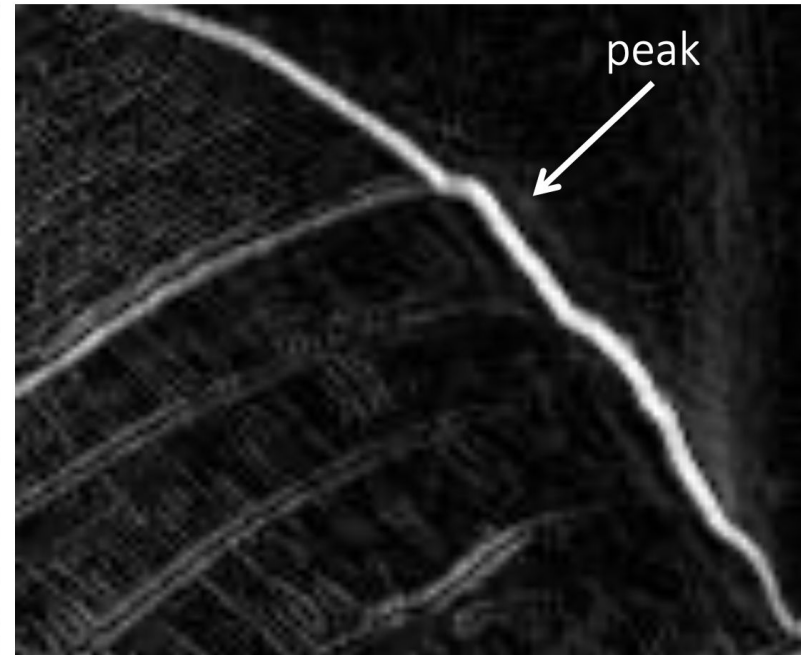


Derivative of Gaussian filtering

# LoG vs DoG



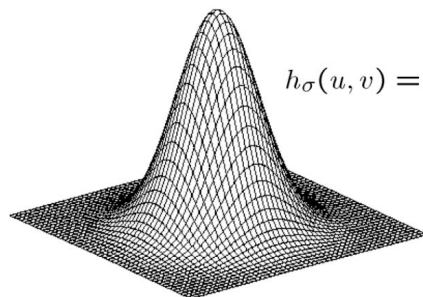
Laplacian of Gaussian filtering



Derivative of Gaussian filtering

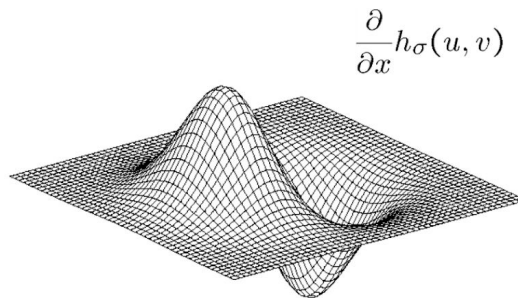
Zero crossings are more accurate at localizing edges (but not very convenient).

# 2D Гауссовские фильтры



Gaussian

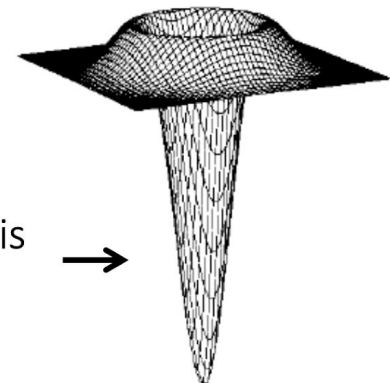
$$h_\sigma(u, v) = \frac{1}{2\pi\sigma^2} e^{-\frac{u^2+v^2}{2\sigma^2}}$$



Derivative of Gaussian

$$\frac{\partial}{\partial x} h_\sigma(u, v)$$

$$\nabla^2 h_\sigma(u, v)$$



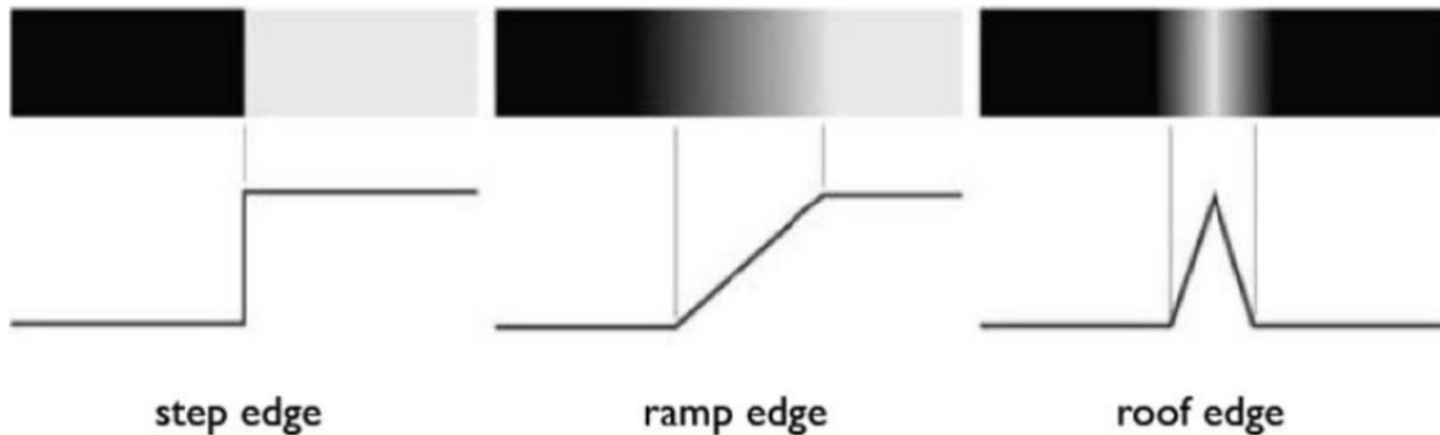
Laplacian of Gaussian

how does this relate to this  
lecture's cover picture?



# Детектор границ Кэнни

# Минусы оператора Собеля



- Плохая локализация (в одной области множество пикселей принимаются за границу)
- Не все направления равнозначны из-за порогового значения - диагональные границы чаще пропускаются чем горизонтальные или вертикальные

# Детектор границ Кэнни

Наиболее широко используемый детектор границ  
в компьютерном зрении

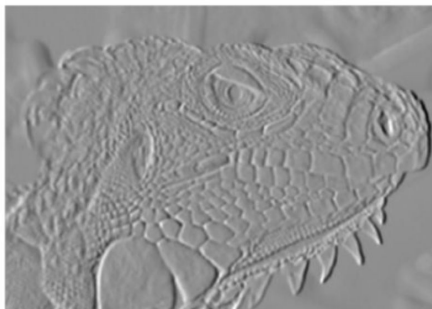
J. Canny, A Computational Approach To Edge Detection, IEEE Trans. Pattern Analysis and Machine Intelligence, 8:679-714, 1986



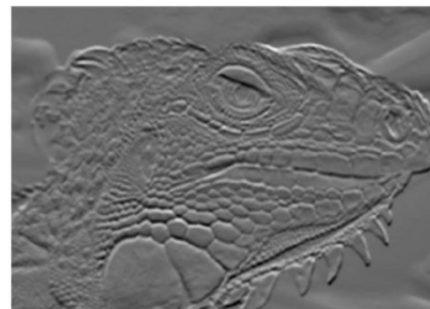
# Детектор границ Кэнни

1. Применяем оператор Собеля - находим магнитуду и направление производной
2. Non-maximum suppression (делаем границы тонкими)
3. Гистерезис (Пороговое отсечение и связывание)
  - Два порога - низкий и высокий
  - Высокий позволяет начать инициализировать кривую, обозначающую границу, низкий позволяет продолжать ее

# 1. Применяем оператор Собеля



X-Derivative of Gaussian



Y-Derivative of Gaussian



Gradient Magnitude

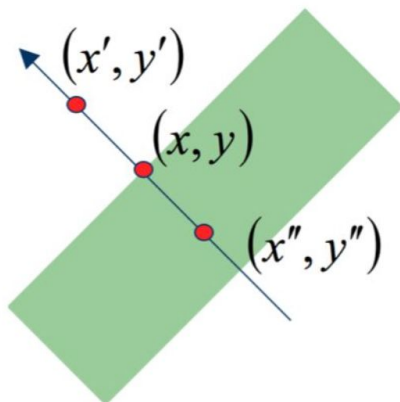
## 2. Non maximum suppression

- Края возникают, когда градиент достигает максимума
- Не будем рассматривать точку как границу, если ее градиент не максимальен (даже если градиент проходит пороговое значение)
- Убираем пиксели как границы во всех направлениях, если их градиенты не максимальны

Позволяет добиться single response

## 2. Non maximum suppression

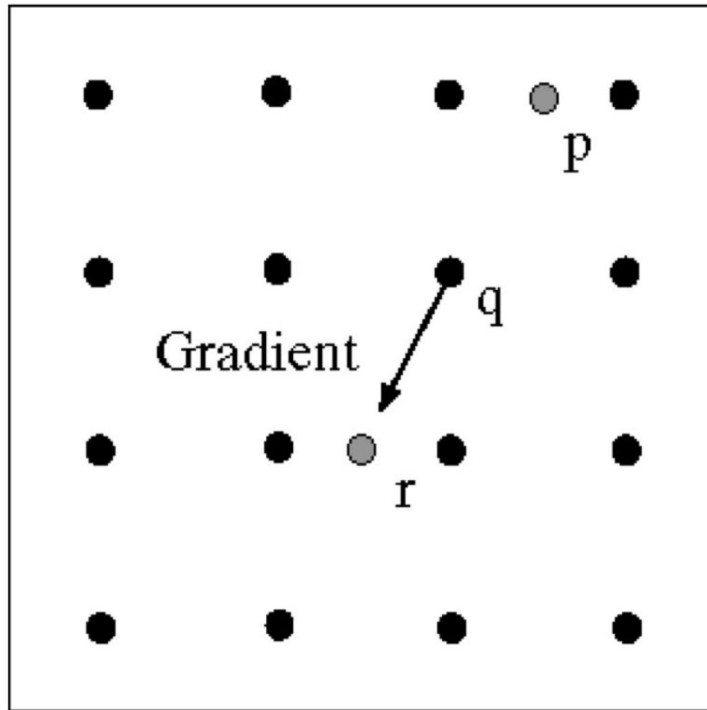
$|\nabla G|(x, y)$  это градиент в пикселе  $(x, y)$



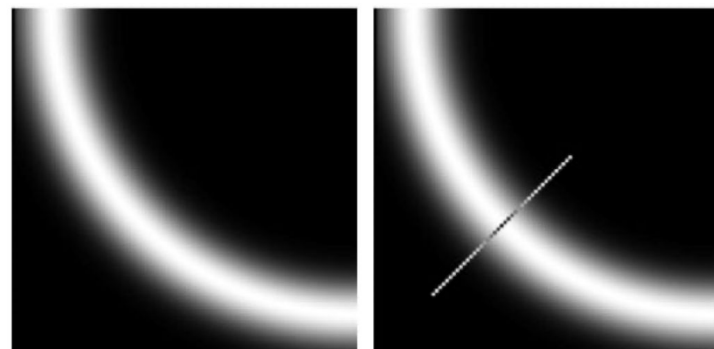
$$M(x, y) = \begin{cases} |\nabla G|(x, y) & \text{if } |\nabla G|(x, y) > |\nabla G|(x', y') \\ & \quad \& |\nabla G|(x, y) > |\nabla G|(x'', y'') \\ 0 & \text{otherwise} \end{cases}$$

$x'$  and  $x''$  are the neighbors of  $x$  along normal direction to an edge

## 2. Non maximum suppression



Интерполируем, чтобы  
получить значение градиента в  
р и г.



## 2. Non maximum suppression

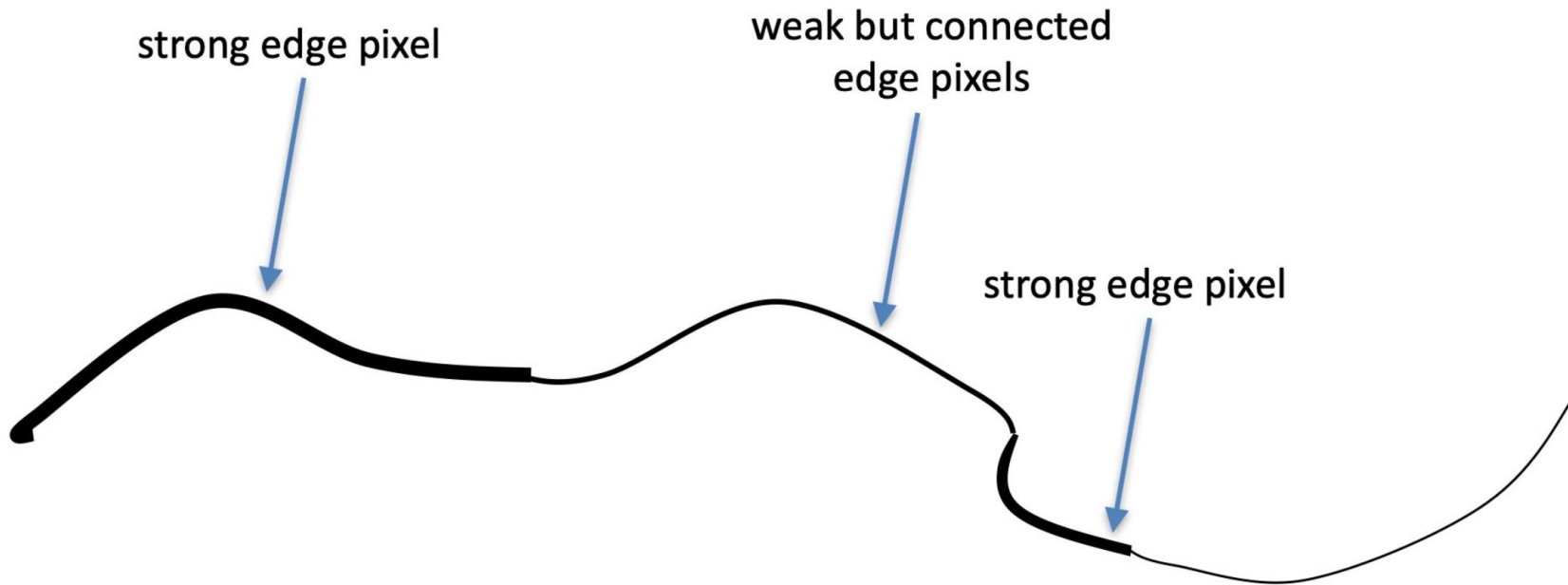


Before



After

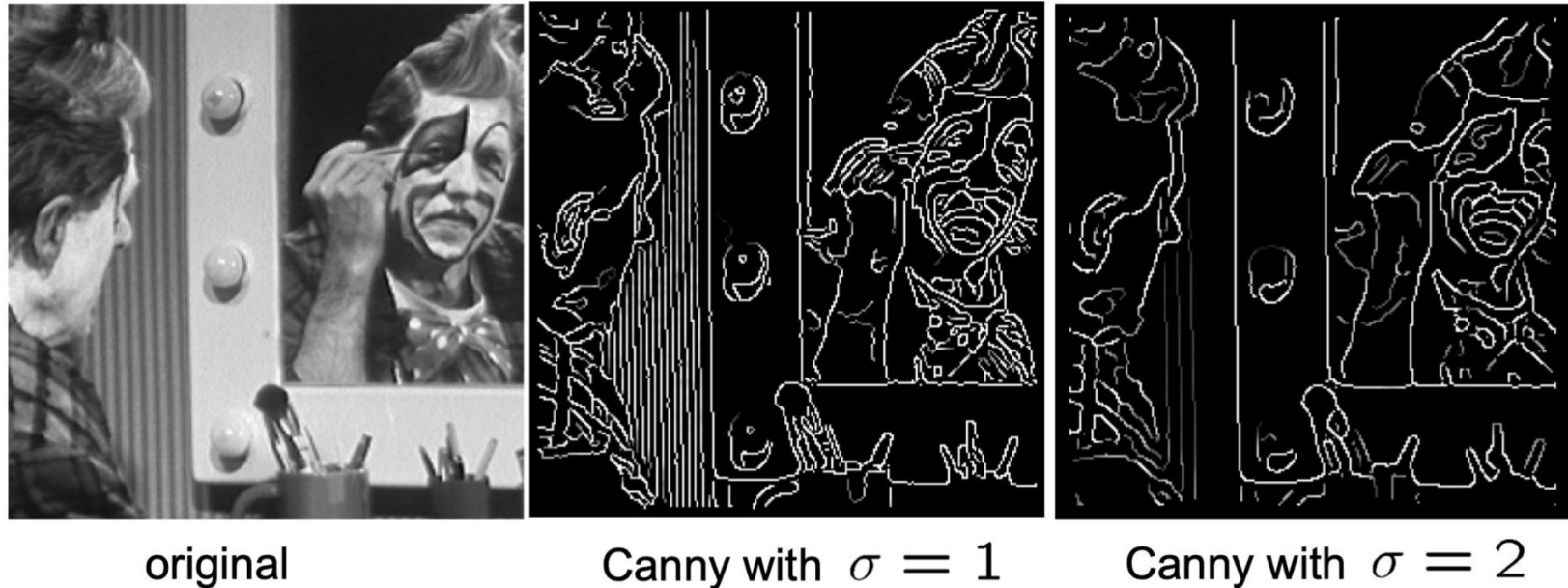
# Гистерезис



# Результат



# Влияние ширины фильтра Гаусса



Выбор сигмы зависит от того, что хочется получить:

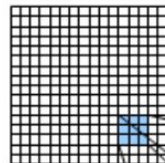
1. Большая сигма позволяет находить границы больших объектов
2. Маленькая сигма позволяет находить маленькие границы

# Домашние задание №1

Имплементируем детектор границ Canny

# Нелинейные фильтры

# Медианный фильтр



101	69	0
56	255	87
123	96	157

0	56	69	87	96	101	123	157	255
---	----	----	----	----	-----	-----	-----	-----

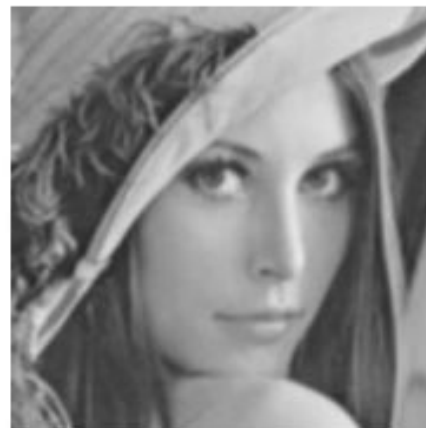
N.B. Each template takes  
the values its sorts from  
the original image



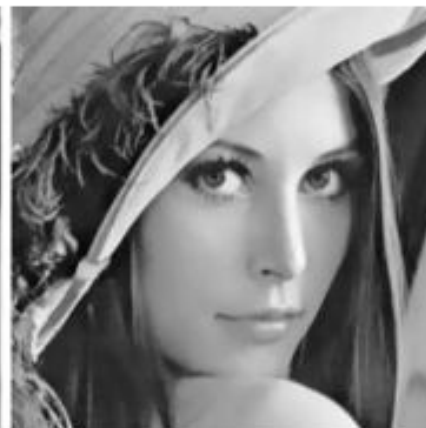
# Медианный фильтр



# Билатеральный фильтр



Gaussian filter



Bilateral filter

# Билатеральный фильтр

$$g(i, j) = \frac{\sum_{k,l} f(k, l)w(i, j, k, l)}{\sum_{k,l} w(i, j, k, l)}$$

$g(i,j)$  - результат применения фильтра в точке  $i,j$

$f(k,l)$  - значение исходного изображения в точке  $k,l$

$w(i,j,k,l)$  - вес, с которым учитывается значение  $f(k,l)$

# Билатеральный фильтр

$$d(i, j, k, l) = \exp\left(-\frac{(i - k)^2 + (j - l)^2}{2\sigma_d^2}\right)$$

$$r(i, j, k, l) = \exp\left(-\frac{\|f(i, j) - f(k, l)\|^2}{2\sigma_r^2}\right)$$

d - фактор расстояния от точки i,j до k,l

r - "похожесть" значений исходного изображения в точке i,j и k,l

sigma - параметры фильтра

# Билатеральный фильтр

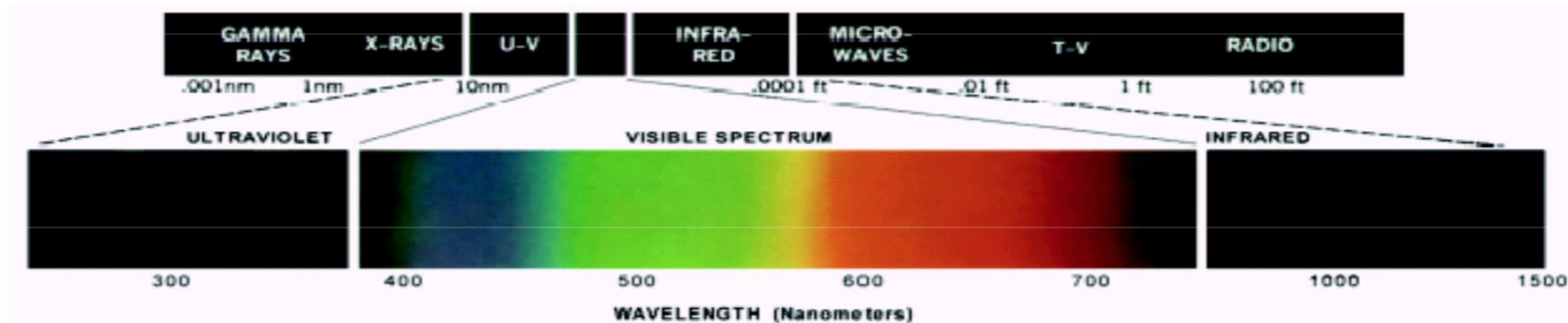
$$g(i, j) = \frac{\sum_{k,l} f(k, l) w(i, j, k, l)}{\sum_{k,l} w(i, j, k, l)}$$

$$w(i, j, k, l) = \exp \left( -\frac{(i - k)^2 + (j - l)^2}{2\sigma_d^2} - \frac{\|f(i, j) - f(k, l)\|^2}{2\sigma_r^2} \right)$$

w - учитывает как расстояние между точками (i,j) и (k,l), так и “похожесть” значений исходного изображения в точках (i,j) и (k,l)

Немного теории цвета

# Цвет - часть ЭМ волны



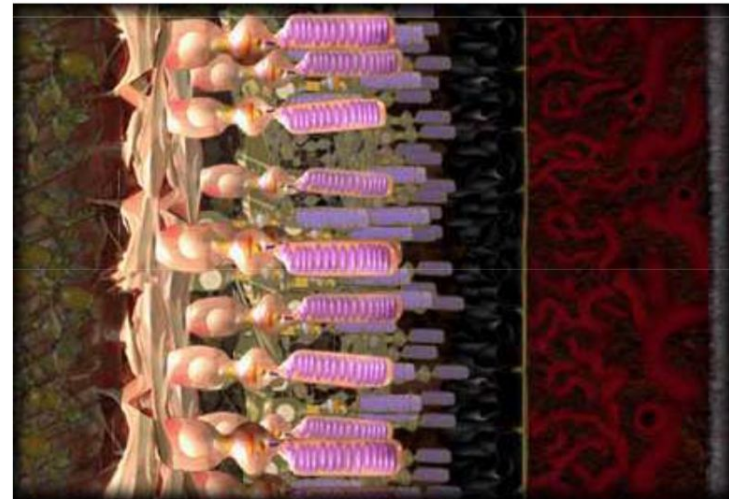
**FIGURE 6.2** Wavelengths comprising the visible range of the electromagnetic spectrum.  
(Courtesy of the General Electric Co., Lamp Business Division.)

# Illuminating and Reflecting Light

- Излучающие источники (первичный свет):
  - Излучают свет (солнце, монитор)
  - Воспринимаемый цвет зависит от частоты ЭМ волны
  - Аддитивное правило:  $R+G+B=White$
- Отражающие источники (вторичный свет):
  - Отражают поступающий свет (краска, одежда)
  - Воспринимаемый цвет зависит от отраженного цвета (= emitted freq - absorbed freq)
  - Вычитающие правила:  $R+G+B=Black$

# Человеческое восприятие цвета

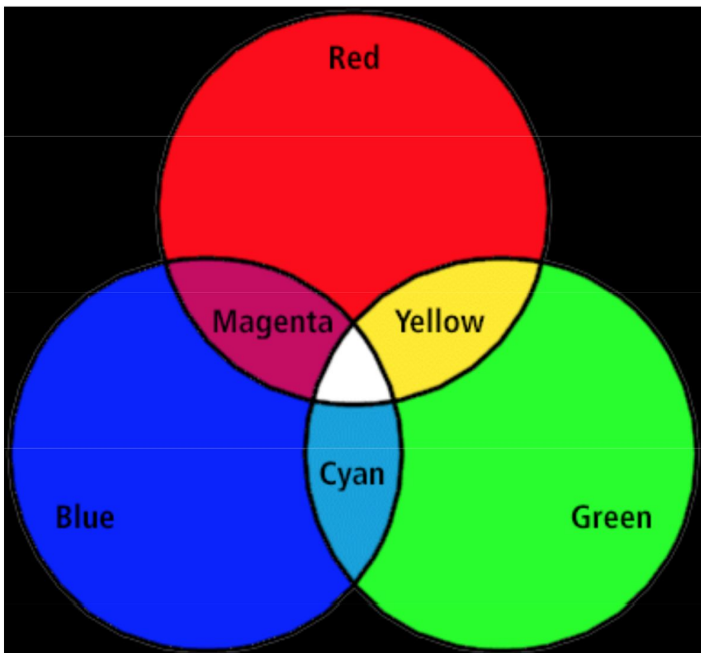
- Сетчатка содержит рецепторы
  - Колбочки
    - Дневной свет, оттенок цвета
    - R, G, B колбочки
  - Палочки
    - Ночной свет, яркость
- Чувствительность к свету
  - Luminance (brightness)
    - яркость
  - Chrominance
    - Hue (color tone)
      - Оттенок цвета, доминирующая длина волны
    - Saturation (color purity)
      - Относительная насыщенность цвета или количество белого света смешанного с оттенком



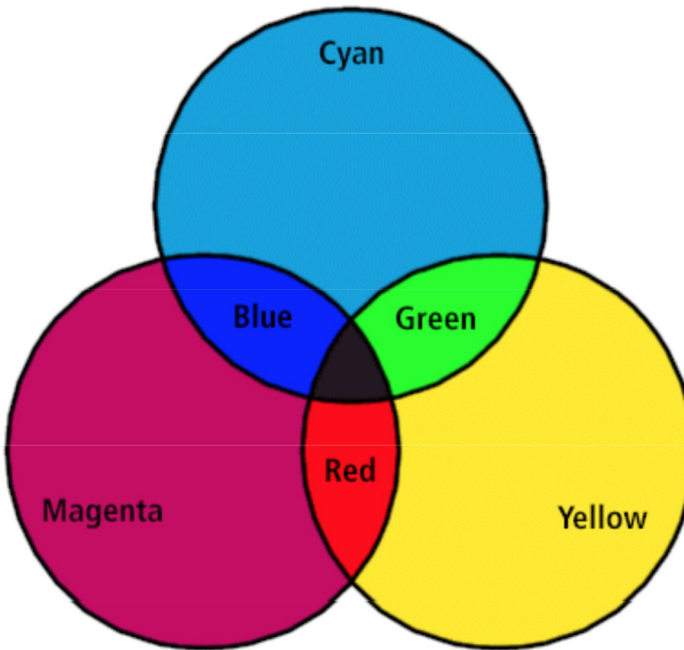
# Трихроматическая теория цвета

- Любой цвет может быть получен смешиванием трех основных цветов в правильном отношении
- Основные цвета для излучающих источников:
  - R, G, B
  - $R + G + B = \text{white}$
- Основные цвета для отражающих источников:
  - Cyan, Magenta, Yellow (CMY)
  - В принтерах CMYK (=CMY + black)
  - $R + G + B = \text{black}$

# RGB vs CMY



Magenta = Red + Blue  
Cyan = Blue + Green  
Yellow = Green + Red



Magenta = White - Green  
Cyan = White - Red  
Yellow = White - Blue

# Цветное изображение



Red



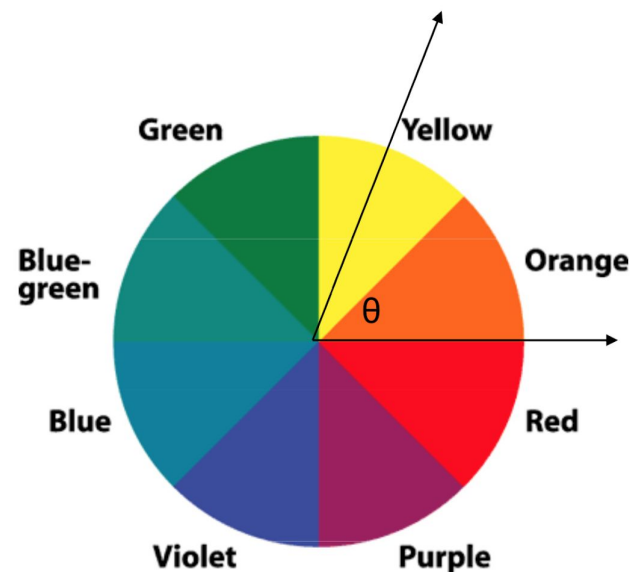
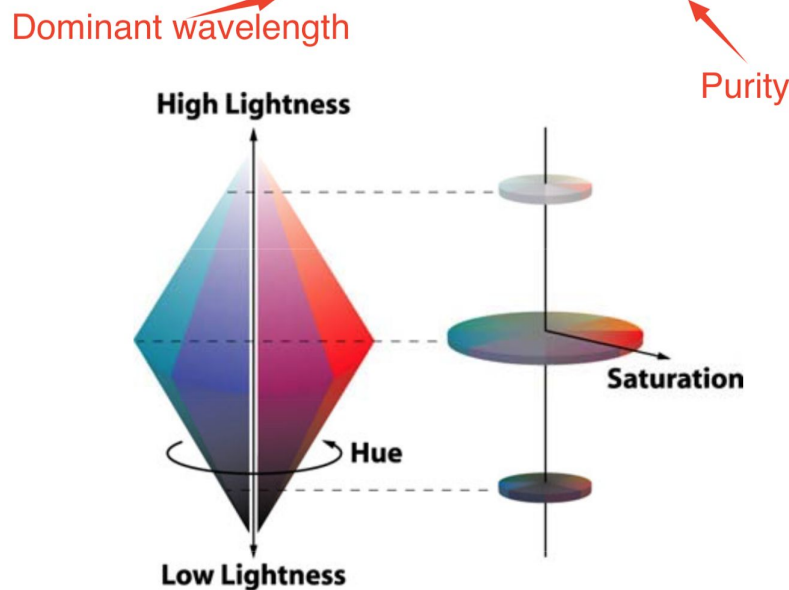
Green



Blue

# Три атрибута цвета

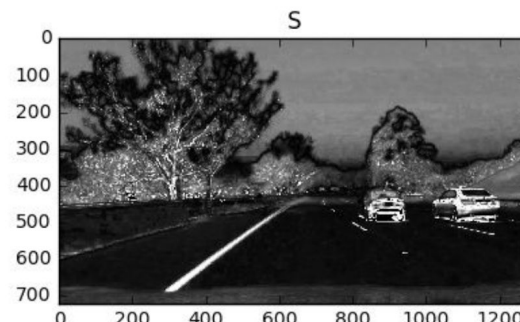
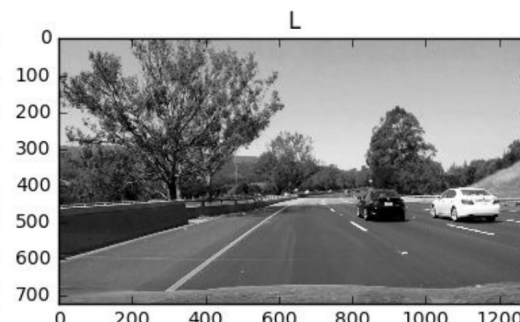
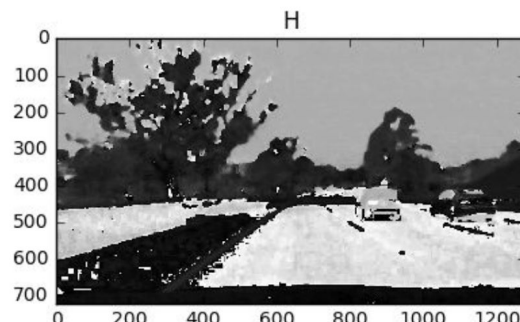
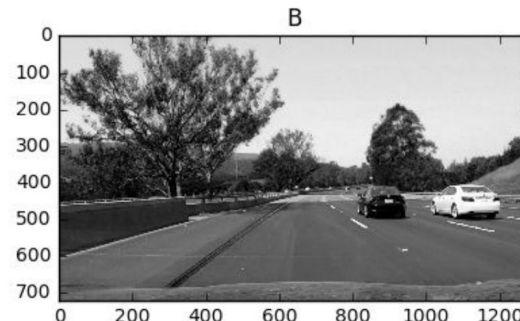
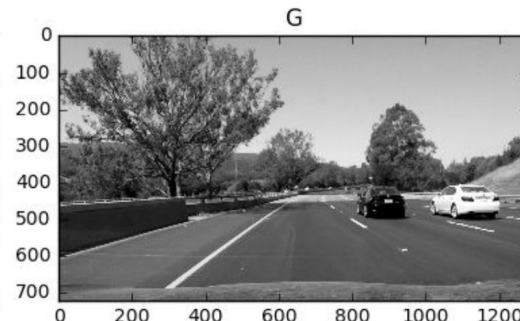
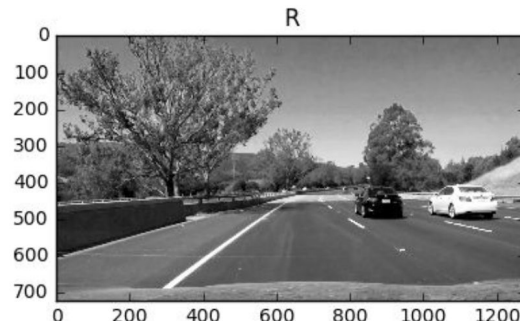
- Luminance (brightness) ← Intensity
- Chrominance
  - Hue (color tone) and Saturation



# HSV vs RGB



# HSV vs RGB



# Модель цвета

- Определите 3 первичных или вторичных цвета
  - RGB
  - CMY
- Либо определите luminance и chrominance
  - HSB(=HSV) or HSL = hue, saturation, value
  - YIQ~YUV (аналоговое ТВ)
  - YCbCr (цифровое ТВ)
- Выберите амплитуду
  - 8 битов на компоненту или 24 бита на пиксель

# Квантизация света

24 bits -> 8 bits



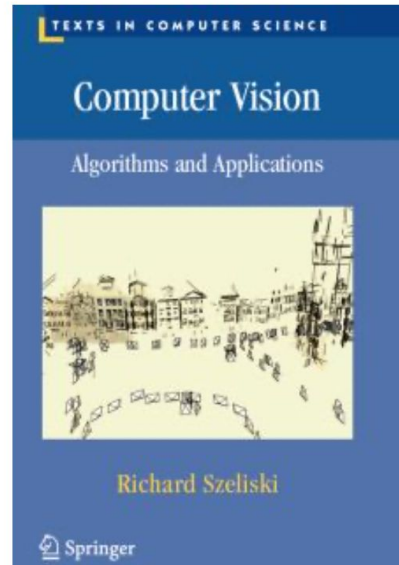
Где смотреть полезную  
информацию

# Рекомендуемые материалы

**Computer vision. Algorithms and Applications,**

Richard Szeliski

Доступна [онлайн](#)



# Рекомендуемые материалы

[ods.ai](https://ods.ai)

- #cv
- #deep\_learning
- #article\_essence



# Рекомендуемые материалы

## Twitter

- [Yann LeCun](#)
- [Andrej Karpathy](#)
- [Pieter Abbeel](#)

Thread

Andrej Karpathy @karpathy

We see more significant improvements from training data distribution search (data splits + oversampling factor ratios) than neural architecture search. The latter is so overrated :)

11:03 PM · Sep 20, 2019 · Twitter Web App

317 Retweets 1.7K Likes

Andrej Karpathy @karpathy · Sep 20  
Replies to @karpathy  
(likely an artifact of most of academia focused on finding models conditioned on standard datasets)

Aderemi Adeola. @21st\_title · Sep 20  
Replies to @karpathy  
Could you explain how to go about this(training data distribution search) or point to a paper that does?

Andrej Karpathy @karpathy · Sep 20  
There's no paper. That's exactly the problem.